



IMPIANTO AGRIVOLTAICO SILIGO 2

COMUNE DI SILIGO

PROPONENTE

Ferrari Agro Energia s.r.l.
Traversa Bacchileddu, n. 22
07100 SASSARI (SS)

AUTORIZZAZIONE UNICA REGIONALE - PROGETTO DEFINITIVO

CODICE ELABORATO

OGGETTO:
Relazione Geologica

PD
R07

COORDINAMENTO

GRUPPO DI LAVORO S.I.A.

bm!



BRUNO MANCA | STUDIO TECNICO DI INGEGNERIA
Loc. RIU IS PIRAS, SN | 09040 SERDIANA (SU)
+39 347 5965654 | P.IVA 02926980927
SDI: W7YVJK9 | ATTESTATO ENAC N° LAPRA.003678
INGBRUNOMANCA@GMAIL.COM | PEC: BRUNO.MANCA@INGPEC.IU
WWW.BRUNOMANCA.COM | WWW.LYBRAS360.COM

Studio Tecnico Dott. Ing Bruno Manca

Dott.ssa Geol. Cosima Atzori
Dott. Ing. Fabio Massimo Calderaro
Dott. Giulio Casu
Dott. Arch. Fabrizio Delussu
Dott.ssa Ing. Silvia Exana
Dott.ssa Ing. Ilaria Giovagnorio
Dott. Giorgio Lai
Dott. Federico Loddo
Dott. Giovanni Lovigu
Dott. Ing. Bruno Manca
Dott. Ing. Giuseppe Pilli
Dott. Ing. Michele Pigiari
Dott.ssa Ing. Alessandra Scalas
Dott. Nat. Fabio Schirru
Dott. Nat. Vincenzo Ferri
Dott. Agr. Giuseppe Puggioni
Federica Zaccheddu

REDATTORE

Dott.ssa Geol. Cosima Atzori

REV.	DATA	DESCRIZIONE REVISIONE
00	Gennaio 2024	Prima emissione

FORMATO
ISO A4 - 297 x 210

INDICE

1. PREMESSA	4
1.1. Quadro normativo.....	4
2. STUDI ED INDAGINI DI RIFERIMENTO	5
3. INQUADRAMENTO GEOGRAFICO GENERALE.....	6
4. CARATTERISTICHE DI PROGETTO DELL'OPERA.....	10
5. INQUADRAMENTO GEOLOGICO	13
5.1. Descrizione del contesto geologico dell'area vasta oggetto di intervento.....	13
5.2. Successione litostratigrafica dell'area di intervento.....	15
5.2.1. Distretto Vulcanico DI OSILO-CASTELSARDO	15
5.2.2. Distretto Vulcanico dei BASALTI DEL LOGUDORO	15
5.3. Successione sedimentaria Oligo-Miocenica del Logudoro-Sassarese	15
5.4. Depositi Quaternari dell'area continentale	17
6. CARATTERI GEOSTRUTTURALI, GEOMETRIA E CARATTERISTICHE DELLE SUPERFICI DI DISCONTINUITÀ.....	19
7. INQUADRAMENTO GEOMORFOLOGICO	19
7.1. Analisi dell'area geomorfologicamente significativa al progetto.....	21
8. INQUADRAMENTO CLIMATICO	23
8.1. Precipitazioni.....	24
8.2. Temperature.....	25
8.3. Stima dell'Evapotraspirazione.....	26
9. INQUADRAMENTO IDROGEOLOGICO	31
9.1. Schema della circolazione idrica superficiale.....	31
9.1. Schema della circolazione idrica sotterranea	36
9.2. Dissesti in atto o potenziali che possono interferire con l'opera e loro tendenza evolutiva	38
10. INQUADRAMENTO PEDOLOGICO	39
11. USO DEL SUOLO	40
12. INDAGINI GEOGNOSTICHE	41
12.1. M.A.S.W. – Tecnica e parametri utilizzati.....	42
12.2. M.A.S.W. – Elaborazione risultati	43
12.2.1. Base sismica M1	43
13. ANALISI E SISMICITA' STORICA.....	46
13.1. Vita nominale, classi d'uso e periodo di riferimento	46
14. ANALISI DEI VINCOLI GRAVANTI SUI TERRENI	50
14.1. Piano di Gestione del Rischio Alluvioni (PGRA).....	52

14.2. Piano Stralcio delle Fasce Fluviali (PSFF)	53
15. MODELLO GEOLOGICO E GEOLOGICO-TECNICO	54
16. FATTIBILITA' GEOLOGICA - GEOTECNICA	55
17. VALUTAZIONE DEGLI IMPATTI DEL PIANO SULLE COMPONENTI AMBIENTALI SUOLO, SOTTOSUOLO E ACQUE.....	57
18. CARATTERIZZAZIONE DELLE TERRE E DELLE ROCCE DA SCAVO	59
18.1. Piano di riutilizzo delle terre e rocce provenienti dallo scavo e da eseguire in fase di progettazione esecutiva e comunque prima dell'inizio dei lavori	60
18.1.1. Materiale riutilizzato in sito.....	60
18.2. Piano di Riutilizzo: criteri generali	60

**Indice delle figure**

Figura 1 Inquadramento geografico dell'area di progetto	6
Figura 2 Inquadramento topografico, CTR 1:10.000	7
Figura 3 Inquadramento topografico IGM Serie 25.....	8
Figura 4 Localizzazione area di progetto (Fonte RAS)	9
Figura 5 Vista laterale delle strutture di sostegno dei pannelli.....	11
Figura 6 Sezioni tipo della trincea per la posa dei cavidotti - elettrodotto	11
Figura 7 Sezioni tipo della trincea per la posa dei cavidotti – area impianto.....	12
Figura 8 Schema tettonico-strutturale della Sardegna.....	13
Figura 9 Schema Tettonico dell'area vasta di studio con l'area di dettaglio evidenziata in arancio (tratto da Ghiglieri et al 2006; 2009a)	14
Figura 10 Particolare della litologia appartenente all'Unità di Monte Santo.	16
Figura 11 Stralcio della Carta Geologica dell'area di interesse.....	18
Figura 12 Caratteri geomorfologici principali di area vasta.....	20
Figura 13 paesaggio dell'area di studio	21
Figura 14 Caratteri geomorfologici dell'area vasta e significativa.....	22
Figura 15 Andamento pluviometrico dell'area vasta (espresso in mm) ricavato dalle stazioni pluviometriche di Sassari e di Fertilia (anno 2011)	24
Figura 16 Andamento della pluviometria mensile e annuale (nell'asse delle ordinate, in mm) per le stazioni di Sassari (e Fertilia per il solo 2011) nel periodo 2008-2018.	25

Figura 17 Temperature mensili (in °C) registrate nella stazione di Sassari negli anni dal 2018 al 2012, e presso la stazione di Fertilia per il periodo 1995-2011.....	25
Figura 18 Temperature mensili (in °C, nell'asse delle ordinate) registrata nella stazione di Sassari per gli anni 2012-2018, e nella stazione di Fertilia per il periodo 1995-2011.....	26
Figura 19 Evapotraspirazione (espressa in mm) per la zona di Sassari.....	26
Figura 20 media mensile dei giorni di sereno, nuvoloso e coperto per il periodo 1961-1990, relativa alla stazione di Fertilia, espressa in okta.....	27
Figura 21 Ventosità media per inverno (a), primavera (b), estate (c), e autunno (d) durante il periodo 1971-2000 registrate nella stazione meteorologica di Fertilia.....	28
Figura 22 Umidità relativa per la stazione di Fertilia, per il periodo 1971-2000.....	28
Figura 23 Diagramma ombrotermico (Walter e Lieth) per il settore di Sassari.....	29
Figura 24 Climogramma relativo all'area di Sassari.....	30
Figura 25 Suddivisione dei bacini idrografici sardi.....	31
Figura 26 Carta dell'idrografia superficiale.....	34
Figura 27 Carta delle interferenze con il reticolo superficiale.....	35
Figura 28 Sistemi idrogeologici dell'area occidentale del foglio 459 "Sassari".....	37
Figura 29 Carta delle permeabilità dei substrati.....	38
Figura 30 Stralcio della Carta dei Suoli della Sardegna (Fonte RAS).....	39
Figura 31 Stralcio della Carta dell'Uso del Suolo, (Fonte RAS).....	40
Figura 32 Schema geometrico di acquisizione dei dati per gli stendimenti di lunghezza L = 46,0 m.....	42
Figura 33 Parametri di deformazione dinamici e statici dei terreni determinati tramite misure sismiche.....	44
Figura 34 Localizzazione stendimento nell'area vasta.....	45
Figura 35 Particolare dell'ubicazione dello stendimento M1.....	45
Figura 36 Parametri sismici in funzione delle coordinate geografiche del sito.....	49
Figura 37 Inquadramento PAI, Carta della Pericolosità Idraulica Hi (fonte RAS).....	50
Figura 38 Inquadramento PAI, Carta della Pericolosità Geomorfologica Hg (fonte RAS).....	51
Figura 39 Inquadramento PGRA (fonte RAS).....	52
Figura 40 Inquadramento PSFF (fonte RAS).....	53
Figura 41 Modello geologico del sito (6.2.1 NTC 2018).....	54
Figura 42 Curva di compattazione da prove di laboratorio in terreni incoerenti.....	55
Figura 43 Curva di compattazione in terreni coerenti.....	56



1. PREMESSA

Il proponente **Ferrari Agro Energia S.r.l.** intende realizzare un impianto agrovoltaiico in località **"Badu 'e Conzas"** nel territorio comunale di Siligo e denominato **"SILIGO 2"**, per il cui progetto è stato conferito, alla scrivente Geol. Cosima Atzori, regolarmente iscritta all'Albo Professionale dei Geologi della Sardegna al n°656, con studio in Sestu (CA) – C.D. Pittarello - Loc. Scala Sa Perda 87, C.F. TZRC5M72H41B354F e P.I.V.A. 03191600927, l'incarico professionale per la redazione della Relazione Geologica, la cui stesura ottempera quanto previsto dal D.M. del 17/01/2018 recante le nuove Norme Tecniche per le Costruzioni (di seguito NTC), con l'obiettivo di evidenziare, in via preliminare, le caratteristiche geologico-morfologiche e il comportamento fisico-meccanico dei terreni interessati dalle opere in progetto.

1.1. QUADRO NORMATIVO

La presente è redatta in ottemperanza a quanto stabilito dalla vigente normativa in materia, con particolare riferimento a:

- D.M. LL.PP. 11.03.1988 "Norme Tecniche riguardanti le indagini sui terreni e sulle rocce, la stabilità dei pendii attuali e delle scarpate, i criteri generali e le prescrizioni per la progettazione, l'esecuzione e il collaudo delle opere di sostegno delle terre e delle opere di fondazione in applicazione della Legge 02.02.1974 n°64.
- Circ. Min. LL.PP. n° 30483 del 24.09.1988 – Istruzioni pe l'applicazione del D.M. LL.PP.11.03.1988.
- Raccomandazioni, programmazione ed esecuzione delle indagini geotecniche, 1975 – Associazione Geotecnica Italiana.
- D.M. Infrastrutture 17.01.2018 - Norme Tecniche per le Costruzioni. (6.2.1 – Caratterizzazione e modellazione geologica del sito, 6.4.2 Fondazioni superficiali)
- D.lgs. n. 152/2006 Norme in materia ambientale
- DPR 59/2013 Regolamento recante la disciplina dell'autorizzazione unica ambientale e la semplificazione di adempimenti amministrativi in materia ambientale gravanti sulle piccole e medie imprese e sugli impianti non soggetti ad autorizzazione integrata ambientale
- Dgls 50/2016 Codice dei contratti pubblici
- Deliberazione n. 6/16 del 14 febbraio 2014- Direttive in materia di autorizzazione unica ambientale. Raccordo tra la L.R. n. 3/2008, art.1, commi 16-32 e il D.P.R. n. 59/2013.

2. STUDI ED INDAGINI DI RIFERIMENTO

Le informazioni topografiche e geologiche dell'area oggetto della presente sono state ricavate dalla cartografia tematica esistente. Si elencano di seguito:

- Carta Topografica I.G.M. scala in 1:25000
- Carta Tecnica Regionale in scala 1:10000
- RAS - Modello digitale del Terreno con passo 1m
- Carta Geologica dell'Italia in scala 1:100000.
- Cartografia Geologica di base della R.A.S. in scala 1:25000
- RAS - Carta dell'Uso del Suolo della Regione Sardegna, 2008
- I.S.P.R.A - Archivio nazionale delle indagini nel sottosuolo (legge 464/84)
- RAS – Studio dell'Idrologia Superficiale della Sardegna, annali idrologici 1922-2009
- RAS – ARPA – Dati meteorologici 1971-2000 e 2014
- RAS – Autorità di Bacino - Piano Stralcio d'Assetto Idrogeologico
- RAS – Autorità di Bacino - Piano di Tutela delle Acque
- RAS – Autorità di Bacino - Piano Stralcio delle Fasce Fluviali
- Analisi orto-fotogrammetrica

I dati a disposizione sono stati integrati con le informazioni derivanti dai sopralluoghi effettuati dalla scrivente in sito e dagli esiti della campagna di indagini geofisiche realizzata in data 26.10.2022 oltre che da lavori analoghi nei pressi della zona di interesse.

3. INQUADRAMENTO GEOGRAFICO GENERALE

L'area di progetto ricade nell'agro del territorio comunale di Siligo, a sud-est del capoluogo sassarese in località "Badu 'e Conzas". Il territorio è debolmente acclive verso est, ad una quota media di circa 330m slmm.

L'elettrodotto a 36 kV si sviluppa nei territori comunali di Florinas (SS), Codrongianus (SS) e Ploaghe (SS).

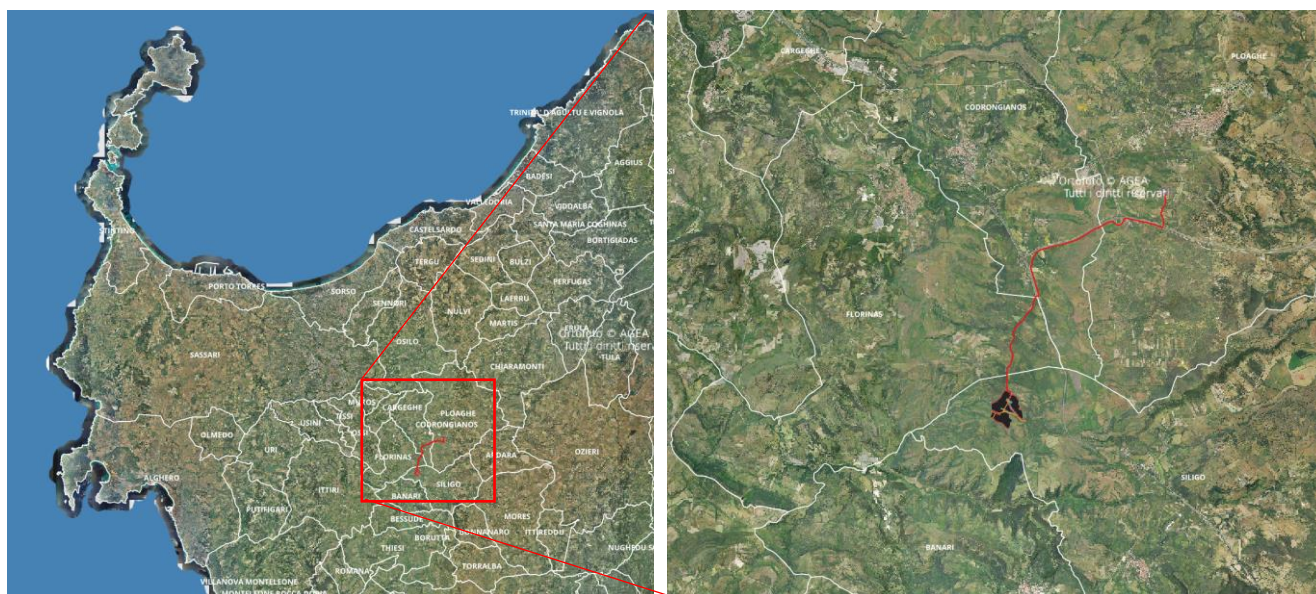


Figura 1 Inquadramento geografico dell'area di progetto

Le coordinate geografiche del centroide ipotetico di riferimento della porzione di impianto in località "Badu 'e Conzas" sono: **1.473.445E – 4.495.212N**

L'inquadramento cartografico di riferimento è il seguente:

- Cartografia ufficiale dell'Istituto Geografico Militare I.G.M. Serie 25 foglio 460 III "Ploaghe"
- Carta Tecnica Regionale della Sardegna – scala 1:10000 – sez. 460130 "Campu Lasari"
- Carta Geologica d'Italia – scala 1:50000 – foglio 460 "Ploaghe"
- Carta Geologica d'Italia – scala 1:100000 – foglio 180 "Sassari"

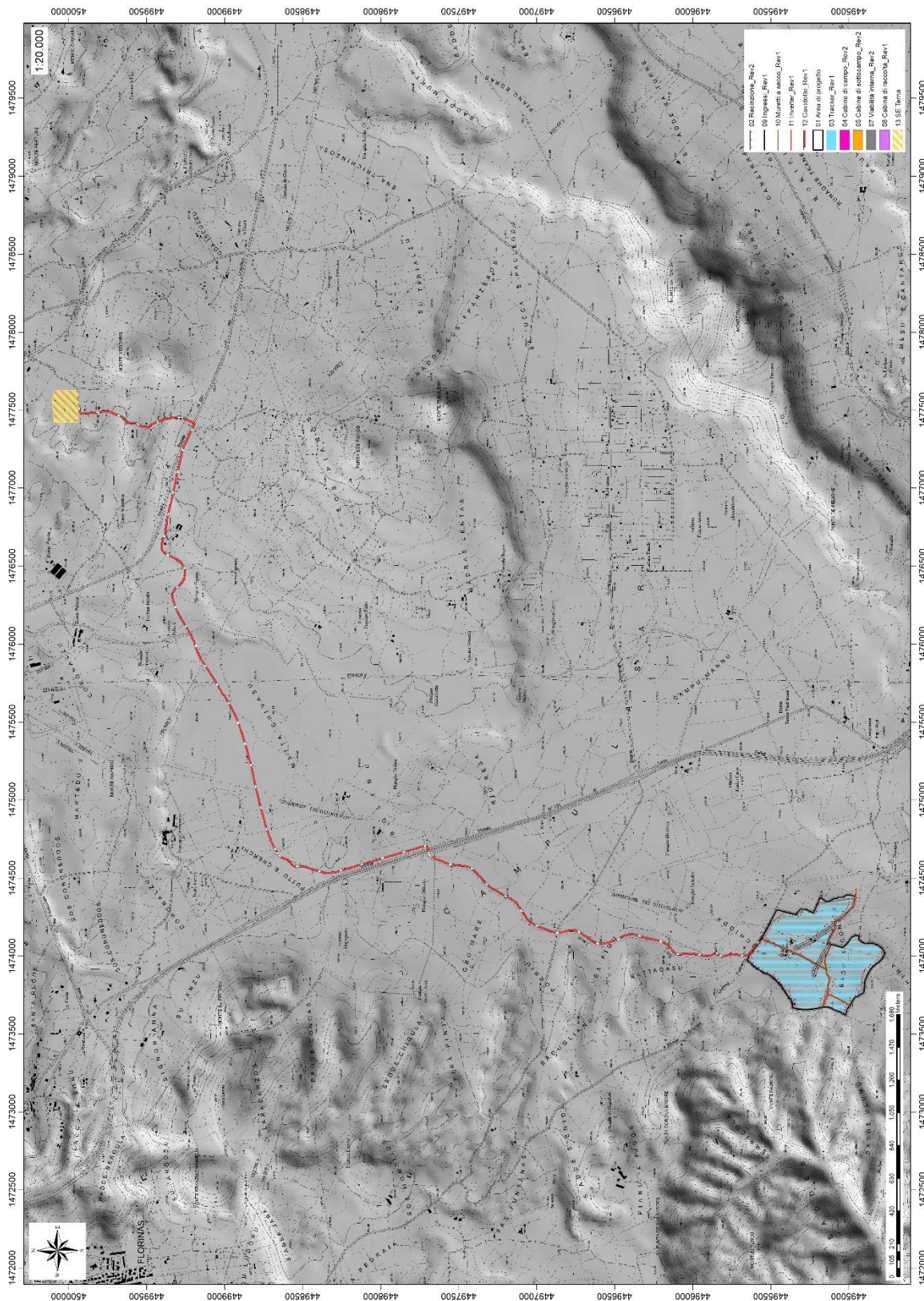


Figura 2 Inquadramento topografico, CTR 1:10.000

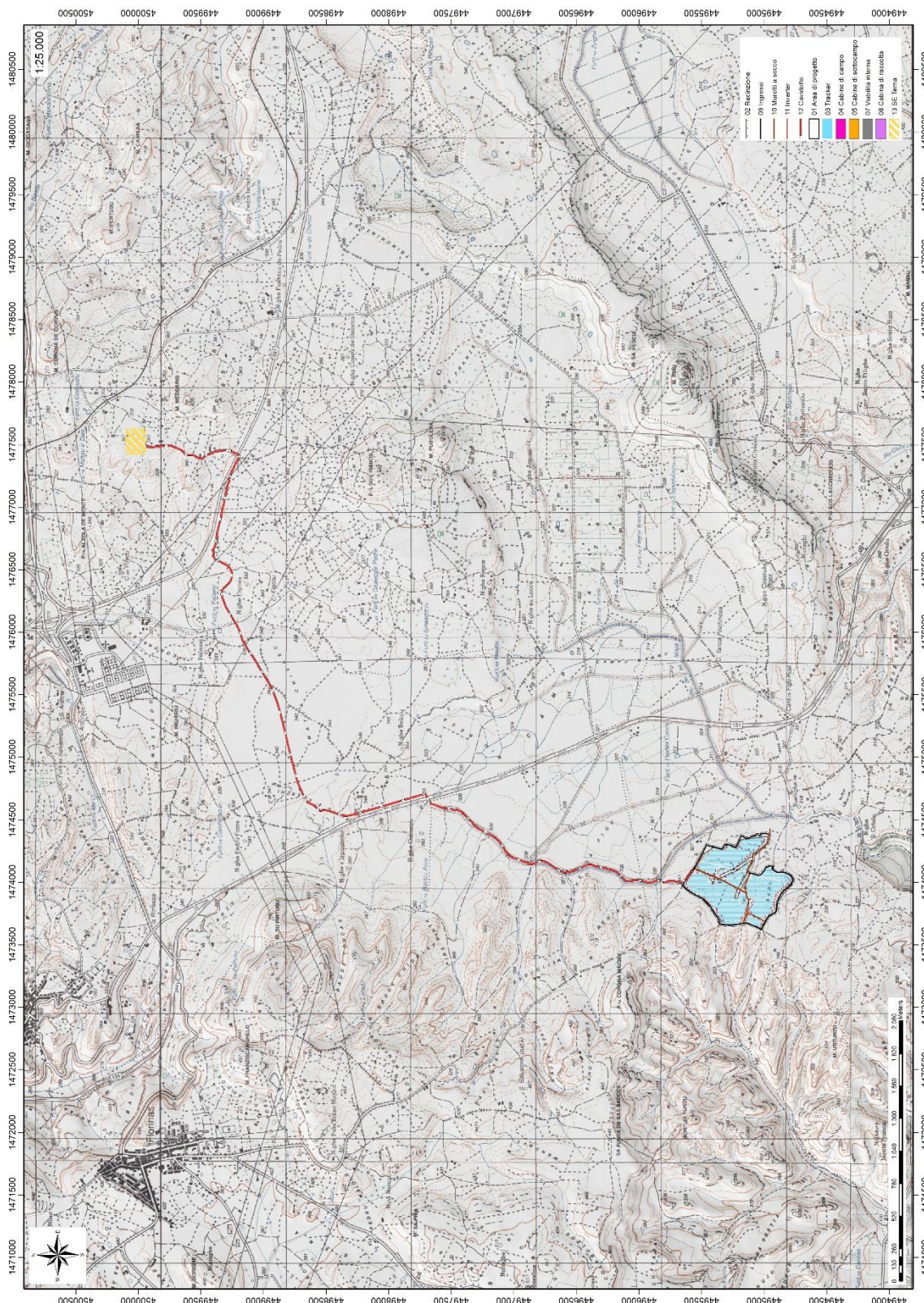


Figura 3 Inquadramento topografico IGM Serie 25

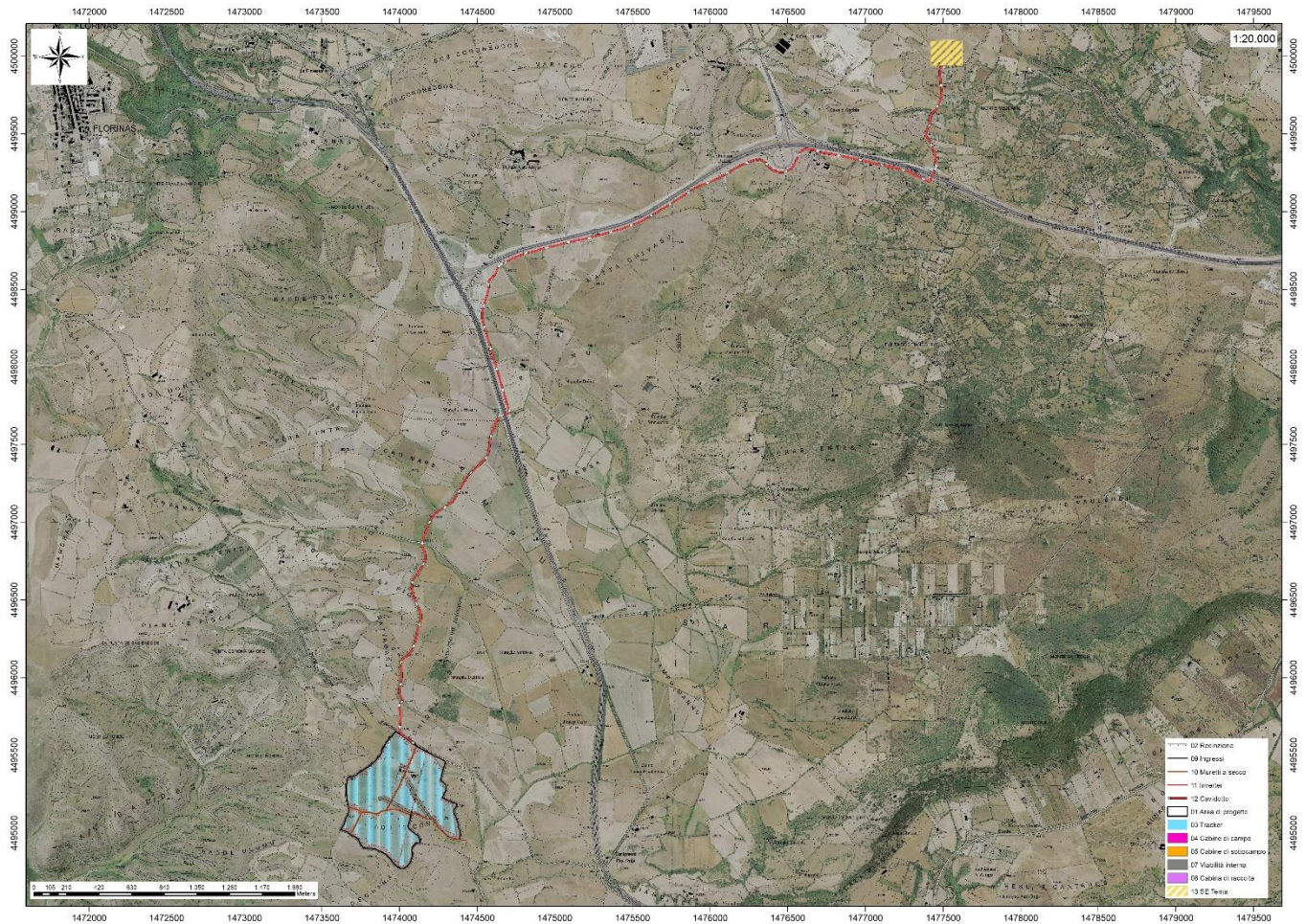


Figura 4 Localizzazione area di progetto (Fonte RAS)

4. CARATTERISTICHE DI PROGETTO DELL'OPERA

Il progetto prevede la realizzazione di una centrale agri-voltaica per la produzione di energia elettrica da fonte rinnovabile solare denominata "SILIGO 2" con una potenza di picco di 27 717,30 kWp ed una potenza in immissione di 22 400 kW.

L'impianto sarà del tipo grid-connected e l'energia elettrica prodotta sarà riversata completamente in rete, salvo gli autoconsumi di centrale, con connessione collegata in antenna a 36 kV del futuro ampliamento della Stazione Elettrica (SE) di Trasformazione 380/220/150 Kv della RTN "Codrongianos". L'impianto è suddiviso in 3 campi fotovoltaici corrispondenti a 3 linee MT a 36 kV ARE4H5EX in cavo tripolare elicordato interrato che collegano le 3 cabine di campo alla cabina di raccolta 36 kV posizionata a bordo impianto.

Il tipo di fondazione scelto per i tracker, in pali metallici a profilo aperto infisso tramite battitura, non comporta alcun movimento di terra. Gli unici volumi tecnici presenti sono costituiti dalle cabine di trasformazione che vengono appoggiate su una vasca di fondazione contenente i vari cavi in entrata ed uscita dalla cabina stessa. Tali vasche in cemento armato sono posizionate all'interno di uno scavo con piano di posa a -0.60 m rispetto al piano di campagna. Gli scavi dei cavidotti interrati saranno riempiti con lo stesso materiale di scavo.

Il nuovo elettrodotto in antenna a 36 kV, per il collegamento della centrale alla Stazione Elettrica della RTN, costituisce impianto di utenza per la connessione, mentre lo stallo arrivo produttore a 36 kV, all'interno della suddetta stazione costituisce impianto di rete per la connessione.

Tutti i cavi di cui si farà utilizzo, sia per il collegamento interno dei sottocampi che per la connessione alla nuova cabina di raccolta a bordo lotto, saranno cavi multipolari con conduttori in alluminio riuniti in elica visibile.

Per l'attraversamento dei fiumi e delle strade di interesse primario (vedi PD-Tav09) è prevista la posa interrata mediante TRIVELLAZIONE ORIZZONTALE CONTROLLATA (T.O.C.) per posare un tubo di polietilene PN 16 che attraverserà l'infrastruttura stradale ad una quota minima di 2 m al disotto del piano viario stesso e i corsi d'acqua ad una quota minima di 2 m in sub alveo. Il cavidotto conterrà tutti i cavi di energia, il cavo in fibra ottica e il conduttore di terra.

Nel caso in questione, per i seguenti attraversamenti vedi (vedi PD-Tav09):

La struttura completa proposta è rappresentata nella figura seguente.

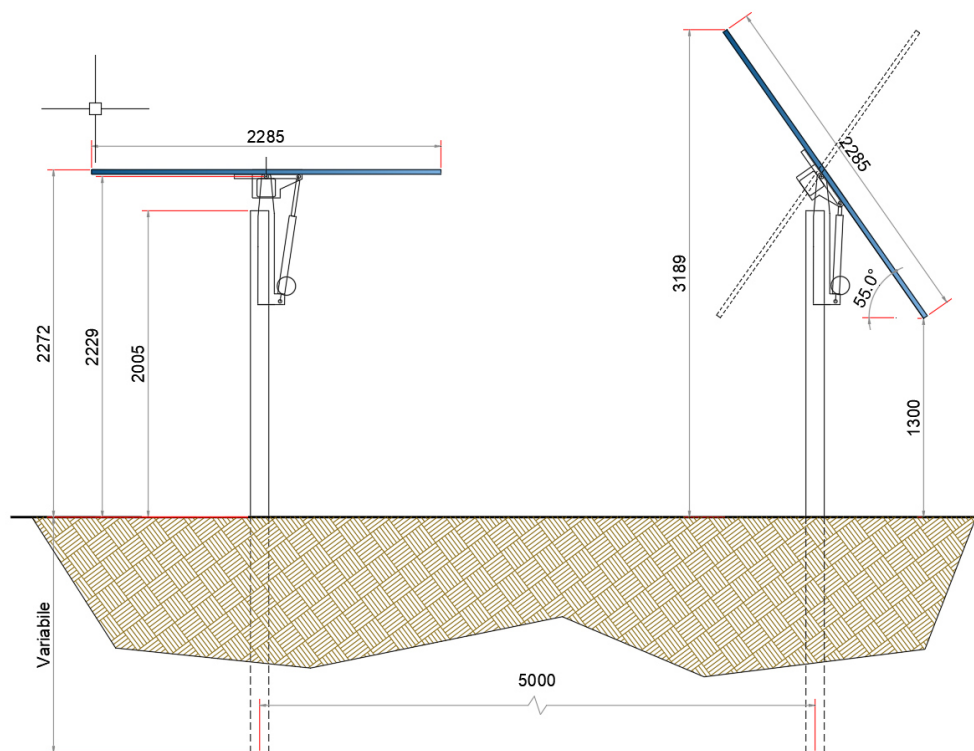


Figura 5 Vista laterale delle strutture di sostegno dei pannelli

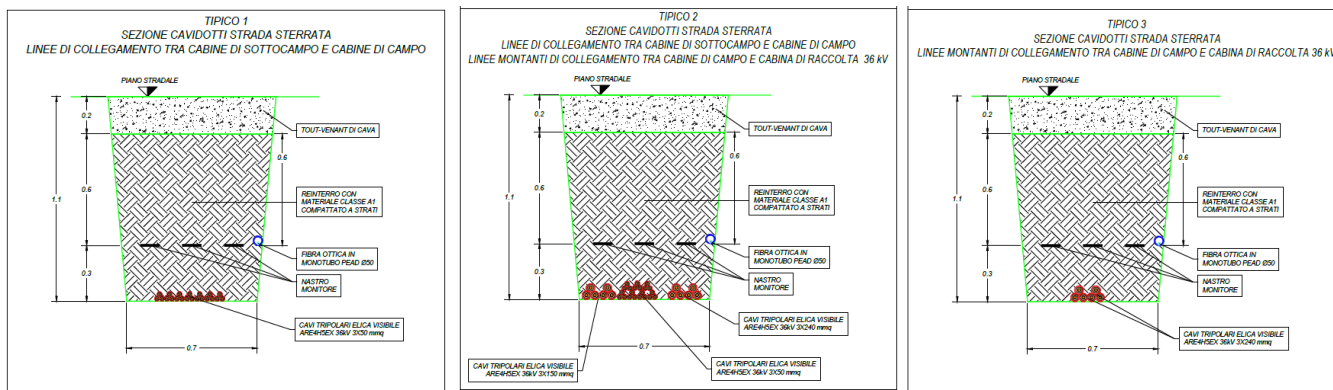


Figura 6 Sezioni tipo della trincea per la posa dei cavidotti - elettodotto

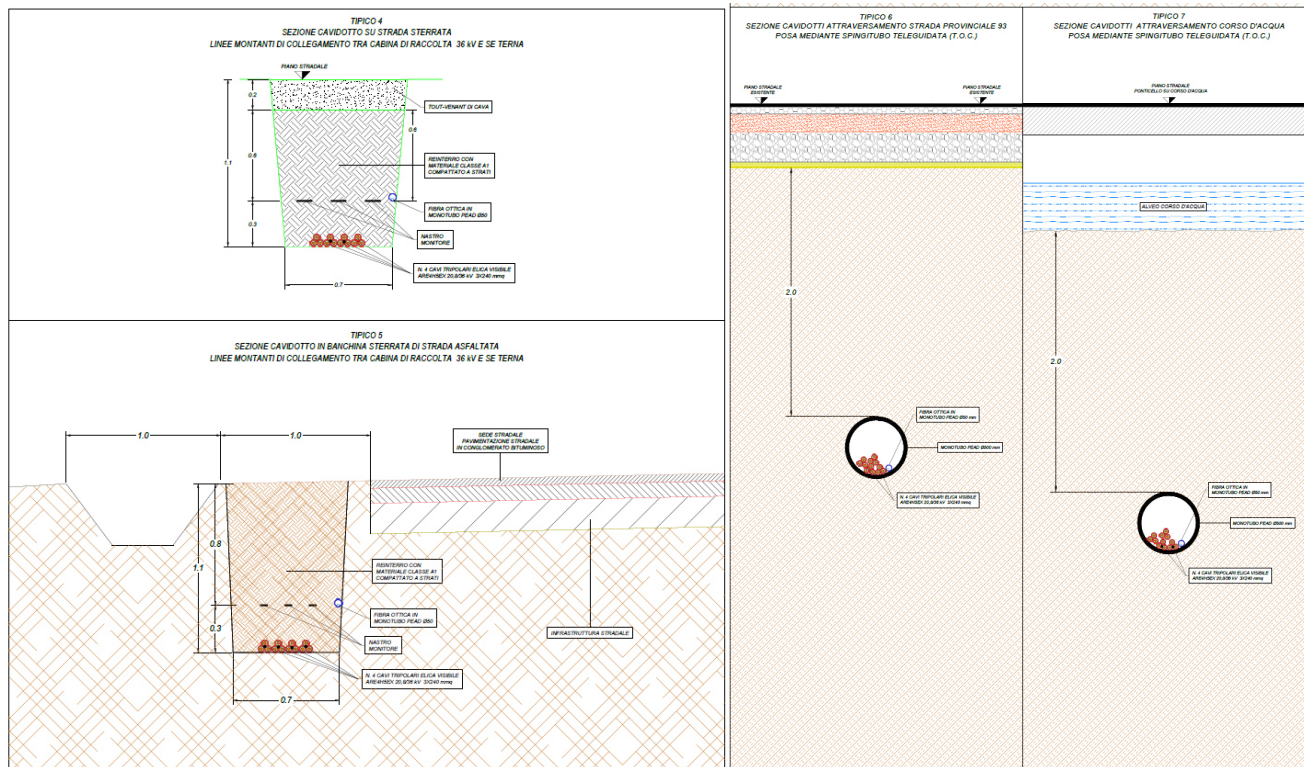


Figura 7 Sezioni tipo della trincea per la posa dei cavidotti – area impianto

Per ulteriori specifiche si rimanda agli elaborati tecnici di progetto.

5. INQUADRAMENTO GEOLOGICO

L'obiettivo dell'analisi dell'assetto geologico è quella di caratterizzare geologicamente e geotecnicamente l'area ove verrà installato il parco fotovoltaico e quella geomorfologicamente significativa, con particolare riferimento alle condizioni del substrato di fondazione, agli scavi ed ai riporti necessari per la realizzazione del sistema di fondazione e delle sue potenziali interazioni con le condizioni al contorno (dinamica geomorfologica, circolazione idrica superficiale e sotterranea, rapporti fra le componenti litologiche interessate) attraverso:

- Definizione dell'assetto geologico-strutturale e idrogeologico di area vasta e dell'area geomorfologicamente significativa;
- Definizione dell'assetto stratigrafico dell'area di sedime delle opere;
- Definizione del modello geologico di sito;

5.1. DESCRIZIONE DEL CONTESTO GEOLOGICO DELL'AREA VASTA OGGETTO DI INTERVENTO

A partire dal Paleozoico si sono susseguiti una serie di eventi geologici sviluppatasi nell'arco di circa mezzo miliardo di anni, che hanno reso la Sardegna una delle regioni geografiche più antiche del Mediterraneo centrale e, morfologicamente e cronologicamente eterogenea.

L'isola riflette pertanto una storia geologica molto articolata, che testimonia, in maniera più o meno completa, alcuni dei grandi eventi geodinamici degli ultimi 400 milioni di anni.

L'orogenesi Caledoniana, la più antica, le cui tracce si rinvergono principalmente nel nord della Gran Bretagna e nella Scandinavia occidentale, fu causata dalla progressiva chiusura dell'oceano Giapeto, a seguito della collisione dei continenti Laurentia, Baltica e Avalonia, dando così origine al super continente Laurussia. La successiva fase dell'orogenesi Ercinica (o Varisica) ha avuto corso a partire dal Carbonifero, circa 350 Ma fa e si è protratta fino al Permiano determinando un'estesa catena montuosa ubicata tra il Nord America e l'Europa.

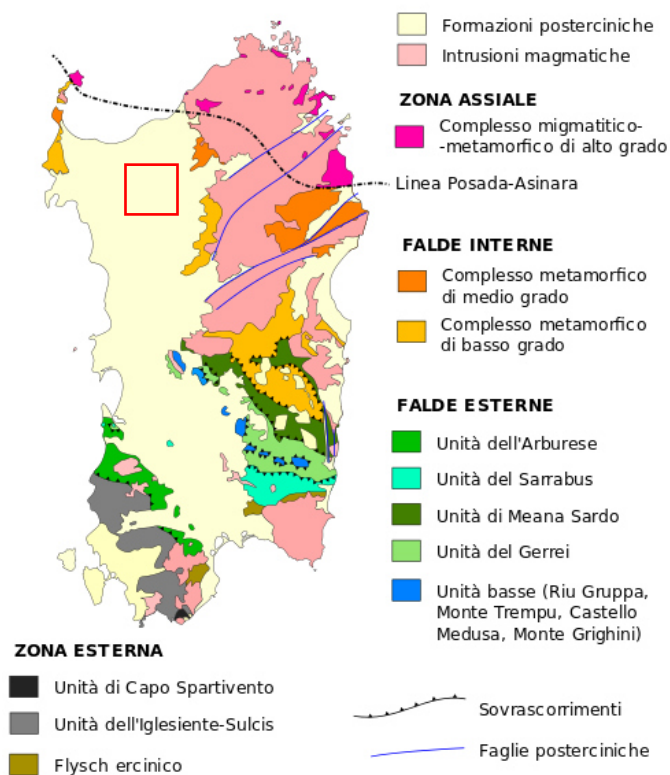


Figura 8 Schema tettonico-strutturale della Sardegna

Quest'orogenesi ha prodotto in Sardegna tre zone metamorfiche principali. Procedendo dal nucleo orogenetico verso l'avanfossa si trovano le zone dette: Assiale (Sardegna NE) – a Falde interne (Sardegna centrale) - a Falde esterne (Sardegna SW).

Successivamente, tra il Carbonifero Sup. e il Permiano Inf., avviene la messa in posto dei batoliti granitici tardo ercinici, questa ha prodotto metamorfismo termico e di alta pressione delle rocce esistenti.

L'area vasta è costituita principalmente da unità di età paleozoica e mesozoica di origine sedimentaria, da rocce magmatiche a carattere effusivo, e da depositi recenti rappresentati dai prodotti di disfacimento della roccia madre e dei suoi derivati che vanno a colmare le vallecole e/o i piccoli impluvi presenti.

L'area di studio ricade nella zona costituita dalla copertura sedimentaria e vulcanica post-ercinica; principalmente è costituita dalle coperture sedimentarie mioceniche, dalle rocce della successione vulcano-sedimentaria Miocenica, e dai depositi quaternari. In particolare, l'area vasta è compresa all'interno Distretto vulcanico di Capo Marargiu, del Distretto vulcanico di Osilo Castelsardo e della Successione sedimentaria oligo-miocenica del Logudoro-Sassarese.

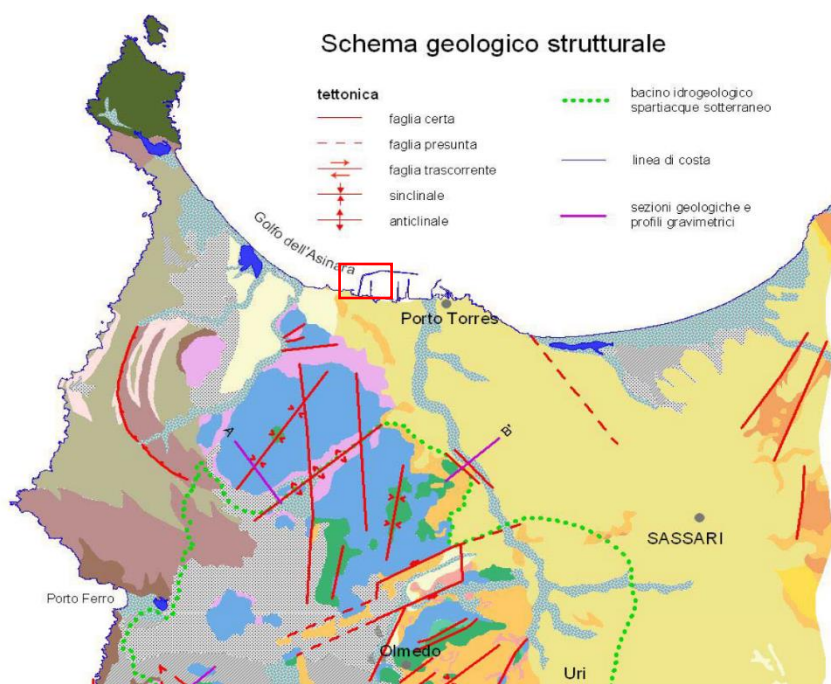


Figura 9 Schema Tettonico dell'area vasta di studio con l'area di dettaglio evidenziata in arancio (tratto da Ghiglieri et al 2006; 2009a)

5.2. SUCCESSIONE LITOSTRATIGRAFICA DELL'AREA DI INTERVENTO

La successione vulcanica oligo-miocenica affiorante nell'area di interesse è costituita da ammassi lavici, duomi e piroclastiti messi in posto in condizioni subaeree e da subordinate epiclastiti.

5.2.1. DISTRETTO VULCANICO DI OSILO-CASTELSARDO

(URA) UNITÀ DI MONTE MURA. Depositi di flusso piroclastico in facies ignimbratica, a chimismo riolitico, saldati, con cristalli liberi di Pl, Sa, Am, a tessitura eutaxitica con fiamme vitroclastiche decimetriche e porzione basale vetrosa. (K/Ar: 23,5 ± 1 Ma – 2

(LGU) UNITÀ DI LOGULENTU. Depositi di flusso piroclastico in facies ignimbratica, pomiceo-cineritici, saldati, di colore rossastro, con tessitura macroeutaxitica. BURDIGALIANO

5.2.2. DISTRETTO VULCANICO DEI BASALTI DEL LOGUDORO

(BGD6) Subunità di Punta Sos Pianos (BASALTI DEL LOGUDORO). Basalti alcalini generalmente olocristallini, debolmente porfirici per fenocristalli di Ol, Pl, Cpx, con xenoliti quarzosi. (0,14 ± 0,1 Ma: Beccaluva et alii, 1981). PLEISTOCENE MEDIO-SUP?

(BGD3) Subunità di Monte Ruju (BASALTI DEL LOGUDORO). Basalti alcalini, porfirici per fenocristalli di Pl, Ol, Cpx, e frequenti xenocristalli di Opx; rari xenoliti quarzosi a struttura granoblastica, frequenti noduli gabbrici e peridotitici, e megacristalli di Cpx e Pl di taglia fino al centimetro; in estese colate. (0,8 ± 0,1-0,4 Ma: Beccaluva et alii, 1981). PLEISTOCENE INF- MEDIO

(BGD4) Subunità di San Matteo (BASALTI DEL LOGUDORO). Trachibasalti olocristallini, porfirici per fenocristalli di Pl, Cpx, Ol, con noduli gabbrici e peridotitici, e xenoliti quarzosi; in estese colate. (0,7-0,2 ± 1 Ma). PLEISTOCENE MEDIO

5.3. SUCCESSIONE SEDIMENTARIA OLIGO-MIOECENICA DEL LOGUDORO-SASSARESE

La successione sedimentaria miocenica affiorante nell'area di interesse è caratterizzata dalla presenza di due sequenze deposizionali limitate da discordanze riconoscibili a scala bacinale. Il substrato di questi depositi è costituito da vulcaniti ed epiclastiti di età compresa tra i 23 e i 18 Ma.

La prima sequenza deposizionale è costituita da depositi continentali fluviali e di piana alluvionale, deltizi e marini di piattaforma, mentre la seconda sequenza è costituita da depositi fluvio-marini e carbonatici di piattaforma.

(OPN) FORMAZIONE DI OPPIA NUOVA. Sabbie quarzoso-feldspatiche e conglomerati eterometrici, ad elementi di basamento paleozoico, vulcaniti oligomioceniche e calcari mesozoici (Nurra). Ambiente da conoide alluvionale a fluvio-deltizio. BURDIGALIANO ?MEDIO-SUP.

(RESa) Litofacies nella FORMAZIONE DI MORES: nota come "calcari inferiori", è costituita da una successione di calcareniti, calcari bioclastici fossiliferi, e calcari a componente terrigena variabile, con faune a gasteropodi "Turritle", ostreidi ed echinidi (Scutella, Amphiope), riferibili al Miocene inferiore (Burdigaliano). Il passaggio alla soprastante formazione di Borutta (RTU) presenta spesso caratteri eteropici, infatti può esser sormontata direttamente dalla Formazione di Monte Santo (NST). Burdigaliano superiore.

(RESb) Litofacies nella FORMAZIONE DI MORES. Arenarie e conglomerati a cemento carbonatico, fossiliferi e bioturbati. Intercalazioni di depositi sabbioso-arenacei quarzoso-feldspatici a grana medio-grossa, localmente ricchi in ossidi di ferro (Ardara-Mores). Ambiente litorale. BURDIGALIANO SUP.

(RTU) FORMAZIONE DI BORUTTA: si tratta di una successione di marne, marne arenacee bioturbate, calcari marnosi e siltiti, localmente in alternanze ritmiche, di colore da grigio-bruno a biancastro-giallastro. Tali depositi, il cui spessore varia tra 100 e 200 m, presentano contatto superiore eteropico con le arenarie della formazione di Florinas, oppure direttamente con i calcari della Formazione di Monte Santo (NST). Il contenuto fossilifero abbondante, costituito da echinidi, bivalvi, gasteropodi, pteropodi, foraminiferi planctonici e ostracodi, permette di riferire i depositi di questa formazione al Burdigaliano superiore - Langhiano.



Figura 10 Particolare della litologia appartenente all'Unità di Monte Santo.

(NST) Formazione di MONTE SANTO: è costituita da una successione di calcari bioclastici di piattaforma interna, con rare intercalazioni silicoclastiche ed episodi biohermali, e calcareniti. Poggiano eteropicamente sopra la Formazione di Florinas, quella di Borutta (RTU) o sulle vulcaniti. Gli affioramenti che poggiano sulla Formazione di Florinas sono costituiti da grainstone con stratificazione incrociata o clinoforni, ricche in alghe calcaree (*Rodophyllum*, *Lithophyllum*) e coralli (*Tarbellastrea*, *Porites*), con accumuli di algal ball, gasteropodi, lamellibranchi, echinidi, macroforaminiferi. Quando poggia sulle marne della Formazione di Borutta (RTU), il passaggio avviene in giacitura caotica ed erosiva, con slumping e megabrecce. Lo spessore è variabile, con un massimo di 50 m. L'associazione fossilifera permette di riferire tali depositi al Serravalliano - Tortoniano.

5.4. DEPOSITI QUATERNARI DELL'AREA CONTINENTALE

I depositi quaternari cartografati nell'area di studio sono generalmente poco rilevanti; sono rappresentati principalmente da depositi alluvionali, depositi di versante e sedimenti legati a gravità.

(a) Depositi di versante: sono costituiti da detriti con clasti angolosi, talora parzialmente cementati accumulati essenzialmente per gravità alla base dei versanti rocciosi più ripidi. Olocene.

(a1a) Sedimenti legati a gravità: sono costituiti di frana, e rappresentano corpi di frana antichi accumulati essenzialmente per gravità alla base dei versanti rocciosi più ripidi. Olocene.

(b2) - Coltri eluvio-colluviali. Detriti immersi in matrice fine, talora con intercalazioni di suoli più o meno evoluti, arricchiti in frazione organica. OLOCENE

(b) - Depositi alluvionali. OLOCENE

(ba) - Depositi alluvionali, Ghiaie da grossolane a medie. OLOCENE

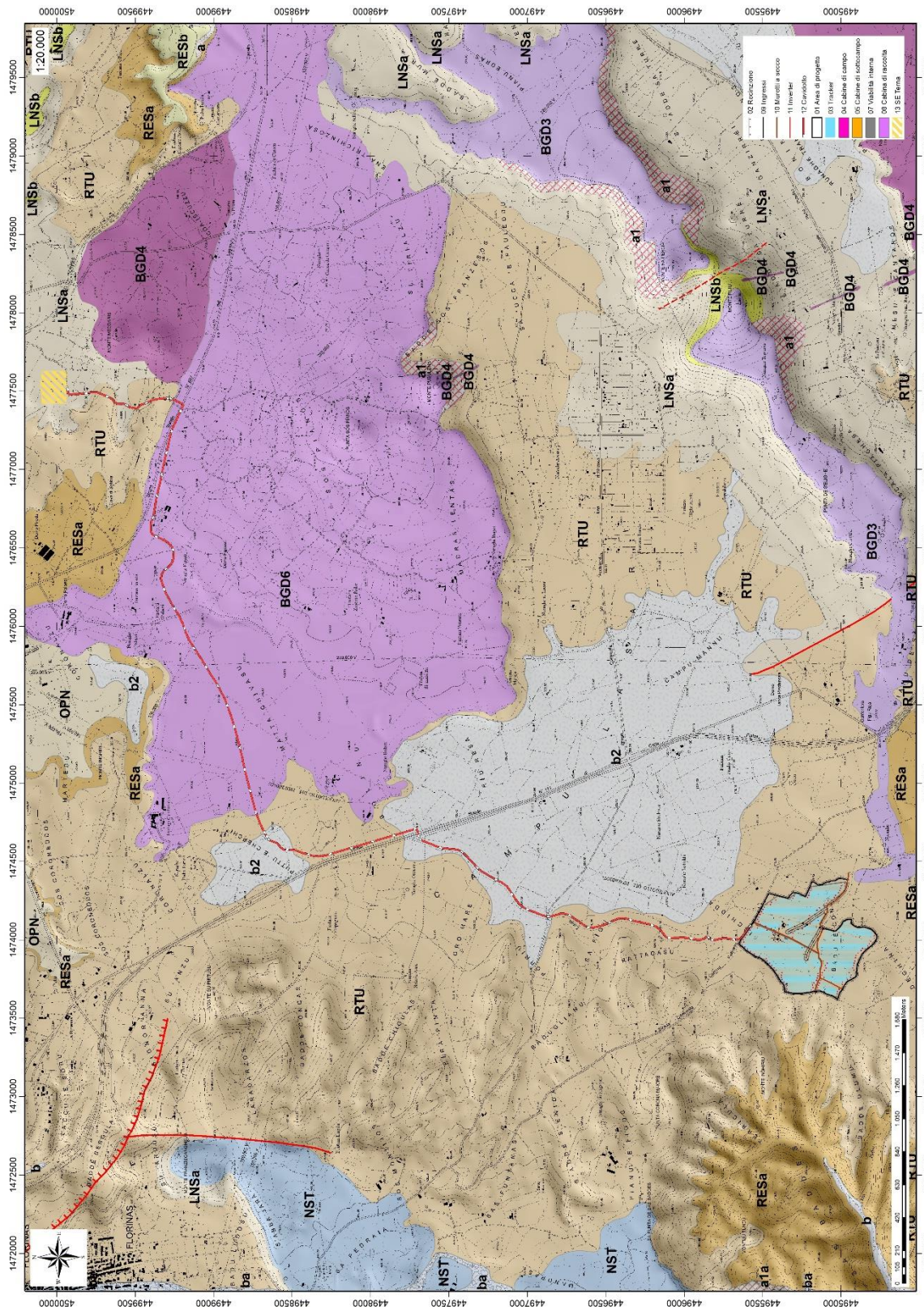


Figura 11 Stralcio della Carta Geologica dell'area di interesse

6. CARATTERI GEOSTRUTTURALI, GEOMETRIA E CARATTERISTICHE DELLE SUPERFICI DI DISCONTINUITÀ

I principali lineamenti strutturali, nell'area vasta, derivano dall'evoluzione stratigrafica e tettonica oligo-miocenica, responsabile dello sviluppo dei bacini del Logudoro e dell'intenso vulcanismo calcalalino.

L'area di studio è caratterizzata dall'affioramento delle coperture terziarie oligo-mioceniche, costituite da argille arrossate con livelli e lenti di conglomerati a ciottoli di basamento paleozoico, vulcaniti e calcari mesozoici di ambiente fluviale e da ghiaie alluvionali terrazzate da medie a grossolane, con subordinate sabbie. I depositi quaternari sono principalmente costituiti da coltri eluvio-colluviali di spessore molto modesto e depositi di versante.

Non sono evidenti tracce di lineazioni tettoniche evidentemente obliterate dalle coperture recenti.

7. INQUADRAMENTO GEOMORFOLOGICO

L'impianto agrovoltico sarà realizzato sulle marne calcaree della formazione di Borutta a sud-ovest del grande spandimento basaltico di Sos Pianos dove Punta Sos Pianos(443,80m) e Monte Pubulena (458,88m) sono rilievi residuali dei punti di emissione delle lave basaltiche.

Osservando il modello tridimensionale privato di ogni altra informazione (topografica o geologica) si osservano nettissime le linee quasi concentriche attorno a questi due punti che testimoniano la direzione radiale del flusso lavico.

A sud il bordo del plateau è netto e determina una repentina rottura di pendio definendo un a scarpata di altezza variabile da 10m a più di 30-50m in località Badde sos Franzesos.

Più a sud il plateau di Pianu Edras rappresenta il rilievo residuale delle emissioni da Monte Ruju (585,53) e Monte sa Perda (501,54).

L'area di impianto è invece morfologicamente sub pianeggiante o debolmente inclinata verso est mentre verso ovest risulta più acclive a delineare tipici rilievi a "cuestas" molto comuni nelle litologie mioceniche stratificate.

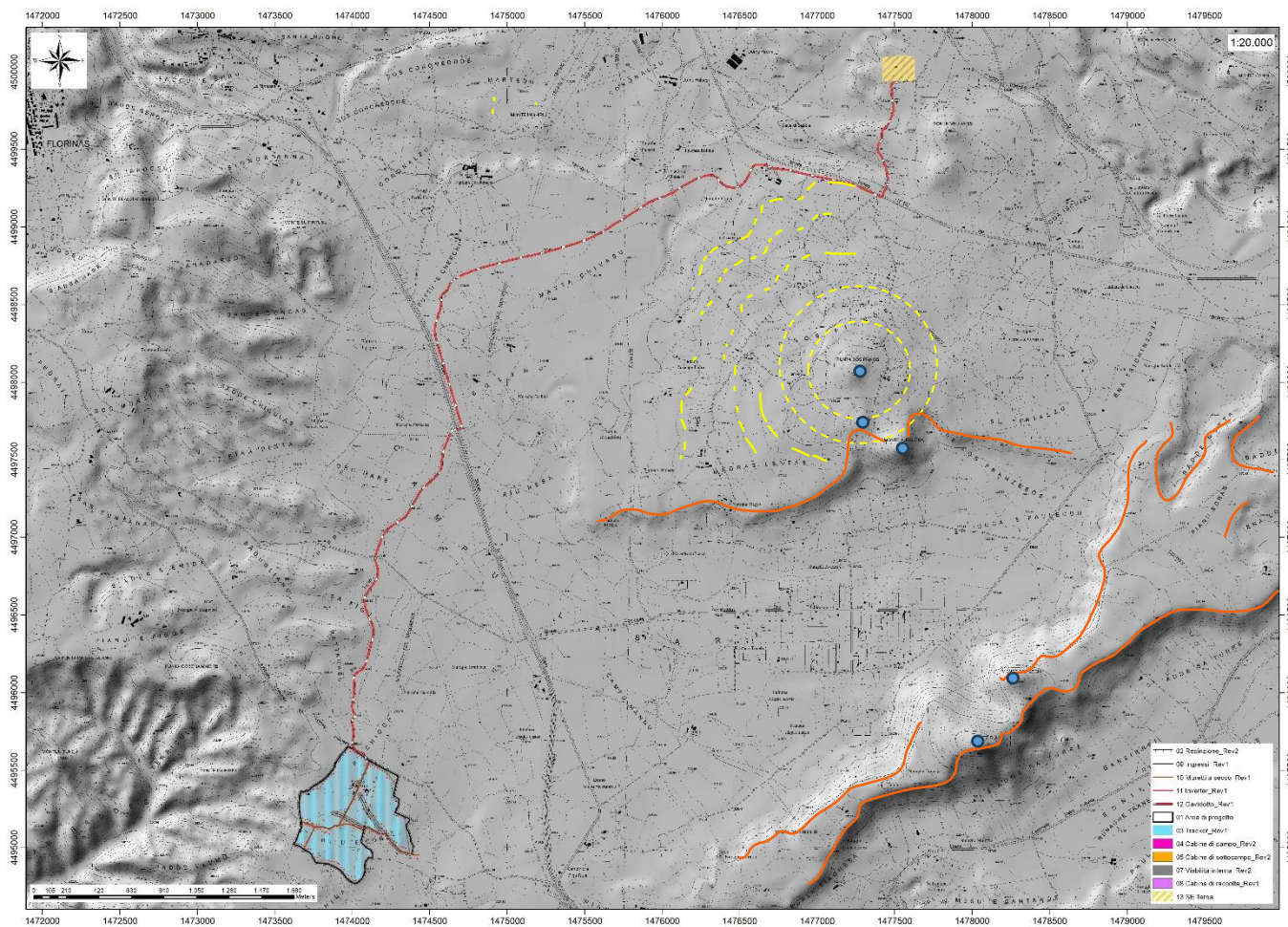


Figura 12 Caratteri geomorfologici principali di area vasta



Figura 13 paesaggio dell'area di studio

7.1. ANALISI DELL'AREA GEOMORFOLOGICAMENTE SIGNIFICATIVA AL PROGETTO

L'area geomorfologicamente significativa per le azioni di progetto è quell'area in cui si esplicano tutti i processi geomorfici, il cui effetto può generare interazioni con le dinamiche ambientali. Pertanto, la stessa, nello specifico, si individua nei versanti e nei sub-bacini idrografici presenti che interferiscono con l'opera.

La geomorfologia di quest'area è fortemente interessata dall'azione geochimica e fisica che l'acqua esercita sui basalti e sulle lave pleistoceniche e nelle marne mioceniche della formazione denominata Borutta, conferendole le caratteristiche geomorfologiche descritte.

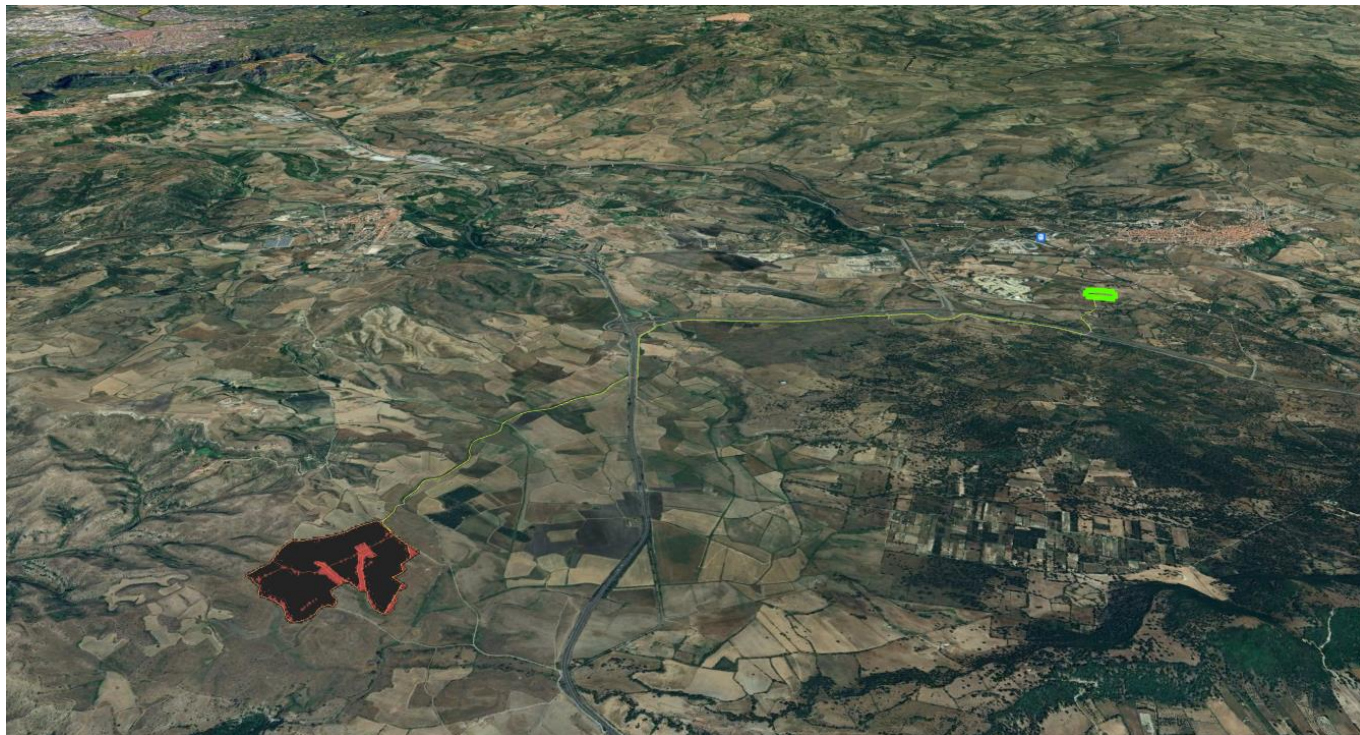


Figura 14 Caratteri geomorfologici dell'area vasta e significativa

8. INQUADRAMENTO CLIMATICO

La definizione del clima è basata sull'analisi dei parametri meteorologici più comunemente studiati, quali la temperatura e le precipitazioni, il cui andamento è legato alle variazioni stagionali della circolazione atmosferica, considerando inoltre la ventosità, la nuvolosità e l'umidità relativa. Il clima della Sardegna viene generalmente classificato come "Mediterraneo Interno", caratterizzato da inverni miti e relativamente piovosi ed estati secche e calde, con valori minimi invernali di alcuni gradi al di sotto dello zero e massimi estivi anche superiori ai +40 C.

Lungo le zone costiere, grazie alla presenza del mare, si hanno inverni miti con temperature che scendono raramente sotto lo zero. Anche nelle zone interne pianeggianti e collinari il clima è tipicamente mediterraneo, anche se a causa della maggior lontananza dal mare si registrano temperature invernali più basse ed estive più alte rispetto alle aree costiere.

Nelle zone più interne, come gli altopiani e le vallate spesso incastonate tra i rilievi, il clima acquista caratteri continentali con forti escursioni termiche, risultando particolarmente basse le minime invernali in caso di inversione termica, con temperature che possono scendere anche al di sotto dei -10/-12 C. Sui massicci montuosi nei mesi invernali nevica frequentemente e le temperature scendono sotto lo zero, mentre nella stagione estiva il clima si mantiene fresco, soprattutto durante le ore notturne, e raramente fa caldo per molti giorni consecutivi.

La Sardegna inoltre è una regione molto ventosa; i venti dominanti sono quelli provenienti dal settore occidentale (Maestrale e Ponente) e, in minor misura quelli provenienti da quello meridionale (Scirocco).

Le precipitazioni sono distribuite in maniera variabile ed irregolare, con medie comprese tra i 400 e i 600 mm annui lungo le coste e valori pluviometrici che raggiungono e superano i 1000 mm annui (con locali picchi superiori ai 1300-1400 mm) in prossimità dei rilievi montuosi.

A causa del dominio sulla regione dei venti provenienti dai quadranti occidentali, mediamente la maggior frequenza di giorni di pioggia si riscontra nelle zone occidentali dell'isola, mentre in quelle orientali, trovandosi sottovento a questo tipo di circolazione a causa dell'orografia, si ha una minore frequenza di giornate piovose.

Tuttavia, le zone orientali sono spesso soggette a fortissime piogge, per cui gli accumuli medi annuali sono simili tra i due versanti.

L'andamento climatico del territorio di Sassari e le risorse idriche disponibili sono stati valutati sulla base dei dati forniti dalle stazioni meteorologiche dell'ARPAS presenti nel territorio comunale di Sassari e Fertilia, localizzate rispettivamente circa 21 km e 35 km a SE e W del settore in esame.

L'andamento pluviometrico dell'area oggetto di studio (fig.16) è stato ricavato dai dati pluviometrici relativi all'intervallo 2008-2018 estratti dagli Annali Idrologici dell'ARPAS reperibili dal Geoportale della R.A.S., così come i dati termometrici, entrambi per le stazioni meteorologiche di Sassari e Fertilia.

Periodo	Gen	Feb	Mar	Apr	Mag	Giu	Lug	Ago	Set	Ott	Nov	Dic	Totale annuale
2018	32,4	101,2	114,2	26,4	199	34,2	0	42,6	31	83,6	155	47	866,6
2017	77,8	62	17,8	23	3,2	33,2	0,4	0	52,4	6,6	81,4	124,6	482,4
2016	58	160	71,4	20	24	3,4	37,4	0,2	52	8	106,4	34,4	575,2
2015	37,8	151,2	57,8	50,2	14	21	0,2	21,6	25,6	114,2	50,6	8,6	552,8
2014	141	95,4	77,6	35,4	33	34,2	14,6	3,4	2	2,6	118,6	76,2	634
2013	202	128,4	137,8	68,4	83,2	1,8	0,2	8,8	31,2	37,4	134,2	29,8	863,2
2012	35,6	56,4	11,8	61,8	125,8	0,8	1,2	0,6	51,6	104,8	109,4	36,4	596,2
2011	105	94,2	32,2	34,2	2	29,6	13,6	0	19,8	11	114,6	62,2	520,9
2010	96,6	61,8	71,6	43,4	62,4	62	0,8	1,4	2,6	64,6	247	126	840,2
2009	104	23,8	37	70,8	6	34,8	0	0,2	101,8	62	107	123,6	671
2008	56,6	18,4	52,4	15,8	109,6	21,8	0,2	0,2	44,6	77,2	131	84,4	612,2

Figura 15 Andamento pluviometrico dell'area vasta (espresso in mm) ricavato dalle stazioni pluviometriche di Sassari e di Fertilia (anno 2011)

Per quanto riguarda i dati sull'evapotraspirazione, sono stati utilizzati i valori pubblicati dal Dipartimento Specialistico Regionale Idroclimatico (I.M.C.) dell'ARPAS.

Alla stazione di Fertilia (Alghero) sono riferiti i dati sulla nuvolosità, umidità relativa e ventosità, estrapolati rispettivamente dagli archivi del Servizio Meteo dell'Aeronautica Militare per il periodo 1961-1990 (nuvolosità) e per il periodo 1971-2000 (umidità relativa e ventosità).

8.1. PRECIPITAZIONI

Nella Fig. 16 sono esposti i dati relativi alle precipitazioni nell'intervallo 2008-2018 registrati nella stazione di Sassari e Fertilia (unicamente per l'anno 2011). Viene riportato il valore medio mensile e il totale annuale di precipitazioni (espresso in mm) nei periodi considerati. Per il periodo 2008-2018 si osserva che i valori di precipitazioni presentano valori superiori nei mesi autunnali e invernali, e inferiori per il periodo compreso tra maggio e agosto.

Nell'area studiata, la piovosità media annuale è pari a circa 663 mm per il periodo compreso tra il 2008 e il 2018.

L'andamento pluviometrico dell'area di Sassari nell'arco dell'anno è caratterizzato dal minimo assoluto di piovosità nel periodo estivo e da un massimo in autunno e inverno, per cui i mesi più secchi sono quelli estivi mentre quelli più piovosi sono quelli invernali.

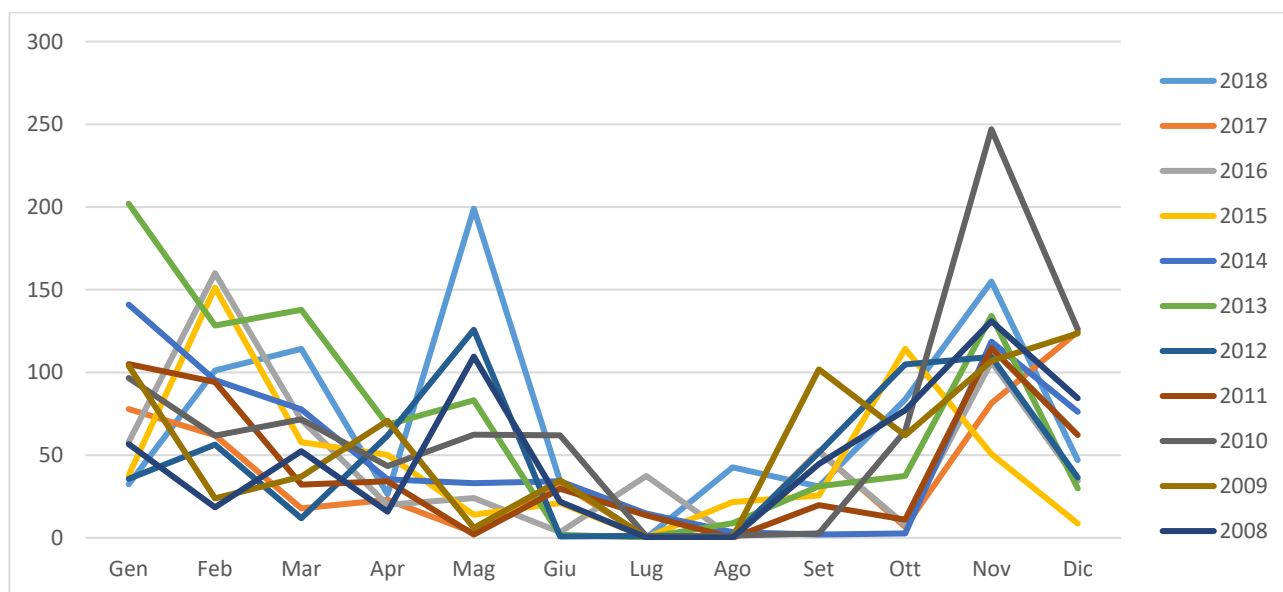


Figura 16 Andamento della pluviometria mensile e annuale (nell'asse delle ordinate, in mm) per le stazioni di Sassari (e Fertilia per il solo 2011) nel periodo 2008-2018.

8.2. TEMPERATURE

I valori termometrici della stazione meteo di Sassari, ricavati dal Dipartimento Specialistico Regionale Idroclimatico (I.M.C.) dell'ARPAS, sono illustrati in fig.17 e sono relativi alla stazione di Sassari per gli anni dal 2012 al 2018, e alla stazione di Fertilia per l'intervallo 1995-2011. La temperatura media annua, calcolata con i valori medi mensili per il periodo 1995-2018, è di circa 17 °C. Il mese più freddo è Febbraio con una media di circa 8,5°C, mentre le temperature più elevate si riscontrano a Luglio e Agosto con circa 25 °C.

Periodo	Gen	Feb	Mar	Apr	Mag	Giu	Lug	Ago	Set	Ott	Nov	Dic
2018	10,8	7,2	10,5	15,8	16,8	21,6	25,5	25,6	22,3	18,1	13,3	10,3
2017	7,3	10,9	12,1	13,8	18,8	24,2	25,7	27,5	19,5	17,6	11,5	8,2
2016	9,6	10,3	10,7	15,1	16,8	21,4	25	24,2	21,8	17,9	13,5	11,1
2015	8,4	7,6	10,3	13,5	18	22,6	26,5	24,7	21,1	16,5	13,3	11
2014	9,3	9,7	10,4	13,7	16,2	22,2	22,6	23,6	22,2	19,7	15,2	9,7
2013	8	6,3	10,5	13,6	14,8	19,6	25	24,7	20,8	19,8	11,4	9,9
2012	8,5	5,4	12	13,3	16,7	23,6	24,8	26,9	21	17,6	13,8	9,1
1995-2011	10	10,4	12,5	15,2	19,4	22,9	25,7	25,8	22,5	19,2	14,6	11,3

Figura 17 Temperature mensili (in °C) registrate nella stazione di Sassari negli anni dal 2018 al 2012, e presso la stazione di Fertilia per il periodo 1995-2011.

Nel grafico di fig.18 è illustrato l'andamento delle temperature medie mensili per il periodo 1995-2011 registrate nella stazione di Fertilia, e per gli anni dal 2012 al 2018, relativamente alla stazione di Sassari.

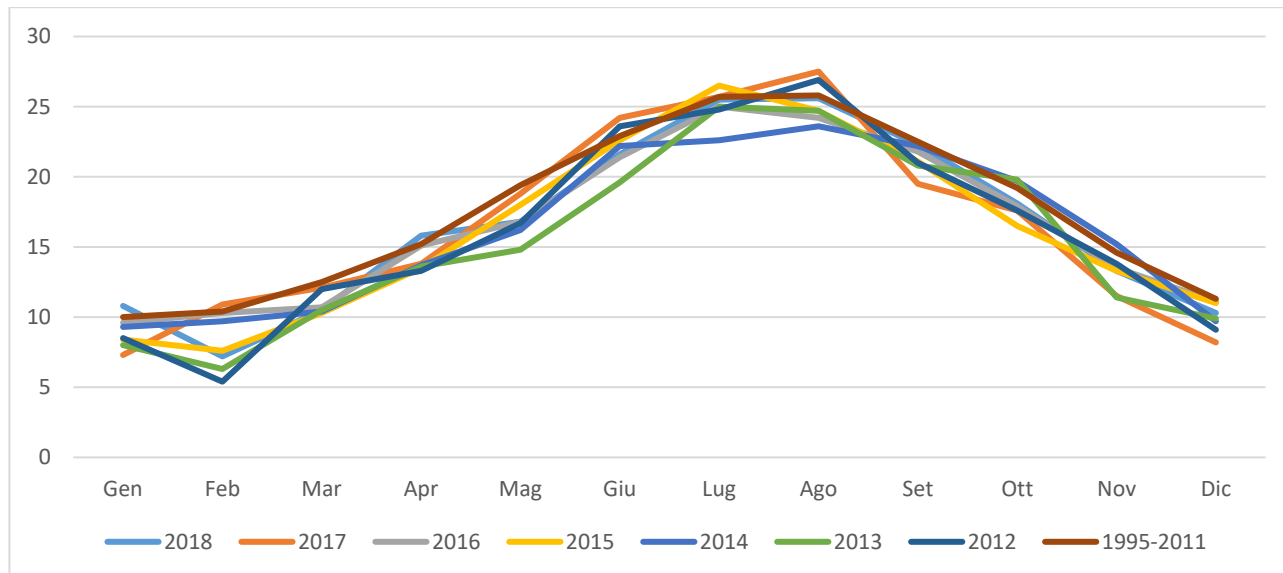


Figura 18 Temperature mensili (in °C, nell'asse delle ordinate) registrata nella stazione di Sassari per gli anni 2012-2018, e nella stazione di Fertilia per il periodo 1995-2011.

8.3. STIMA DELL'EVAPOTRASPIRAZIONE

L' evapotraspirazione è uno dei parametri più significativi nell'ambito di un bilancio idrologico e rappresenta la perdita di una parte delle acque di precipitazione, per evaporazione dal suolo e per traspirazione della vegetazione. Viene calcolata tenendo conto della temperatura e delle precipitazioni, e viene influenzata dalla nuvolosità, dall'umidità relativa e dalla ventosità. Nel grafico di Figura 19 è illustrata l'evapotraspirazione per la zona di interesse ricavata dai dati reperibili sul WebGIS dell'ARPAS.

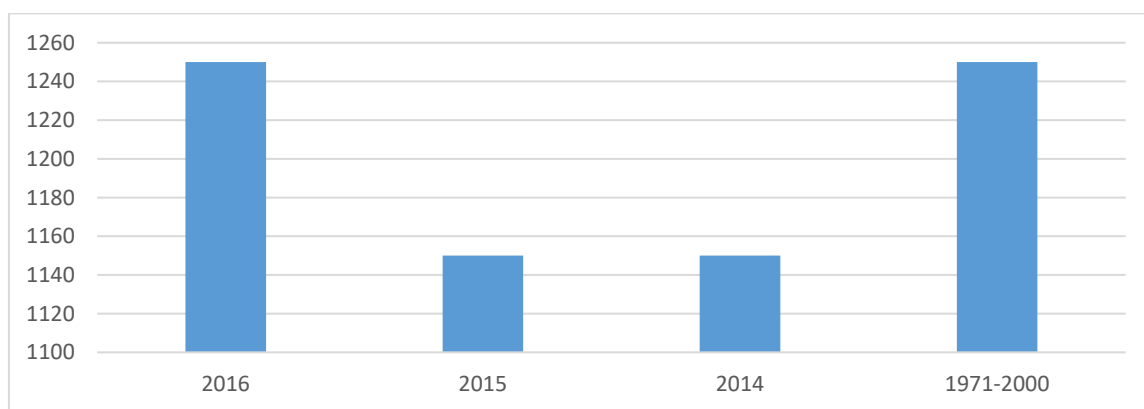


Figura 19 Evapotraspirazione (espressa in mm) per la zona di Sassari.

La nuvolosità influenza il clima in quanto da essa dipende l'irraggiamento solare. Nella tabella di Fig. 20, sono rappresentati i valori mensili di condizioni di sereno (nuvolosità < 2/8), nuvoloso (2/8 < nuvolosità < 6/8) e coperto (nuvolosità > 6/8), espressi in okta (stima di quanti ottavi di cielo sono oscurati dalle nuvole) e riferiti al periodo 1961 – 1990 per la stazione di Fertilia.

Gen	Feb	Mar	Apr	Mag	Giu	Lug	Ago	Set	Ott	Nov	Dic
4,7	4,7	4,6	4,5	3,8	3	1,7	2	2,9	3,6	4,4	4,6
coperto	coperto	coperto	coperto	coperto	sereno	sereno	sereno	sereno	coperto	coperto	coperto

Figura 20 media mensile dei giorni di sereno, nuvoloso e coperto per il periodo 1961-1990, relativa alla stazione di Fertilia, espressa in okta.

Dall'esame dei valori della tabella si evince che il massimo di giorni sereni si ha tra Giugno e Agosto mentre durante gli altri mesi è sempre presente una certa copertura. Il valore minimo di giornate nuvolose si ha nel mese di Luglio e il massimo si osserva nei mesi di Gennaio e Febbraio. Le giornate in condizioni di coperto raggiungono il massimo a Gennaio e minimo a Luglio.

Il clima è influenzato anche dall'andamento del vento al suolo (ventosità), che viene definito analizzandone l'intensità, la direzione e la frequenza.

Dall'analisi dei dati disponibili dalla Rete Mareografica dell'ISPRA, risulta che i venti provenienti dai quadranti settentrionali e occidentali sono in netta dominanza, in particolare quello più frequente proviene da W. Per il periodo considerato (1971-2000) nella stazione di Fertilia le percentuali di calma per le 4 stagioni sono state il 36% per l'inverno, il 44% per la primavera, il 59% per l'estate e il 48% per l'autunno.

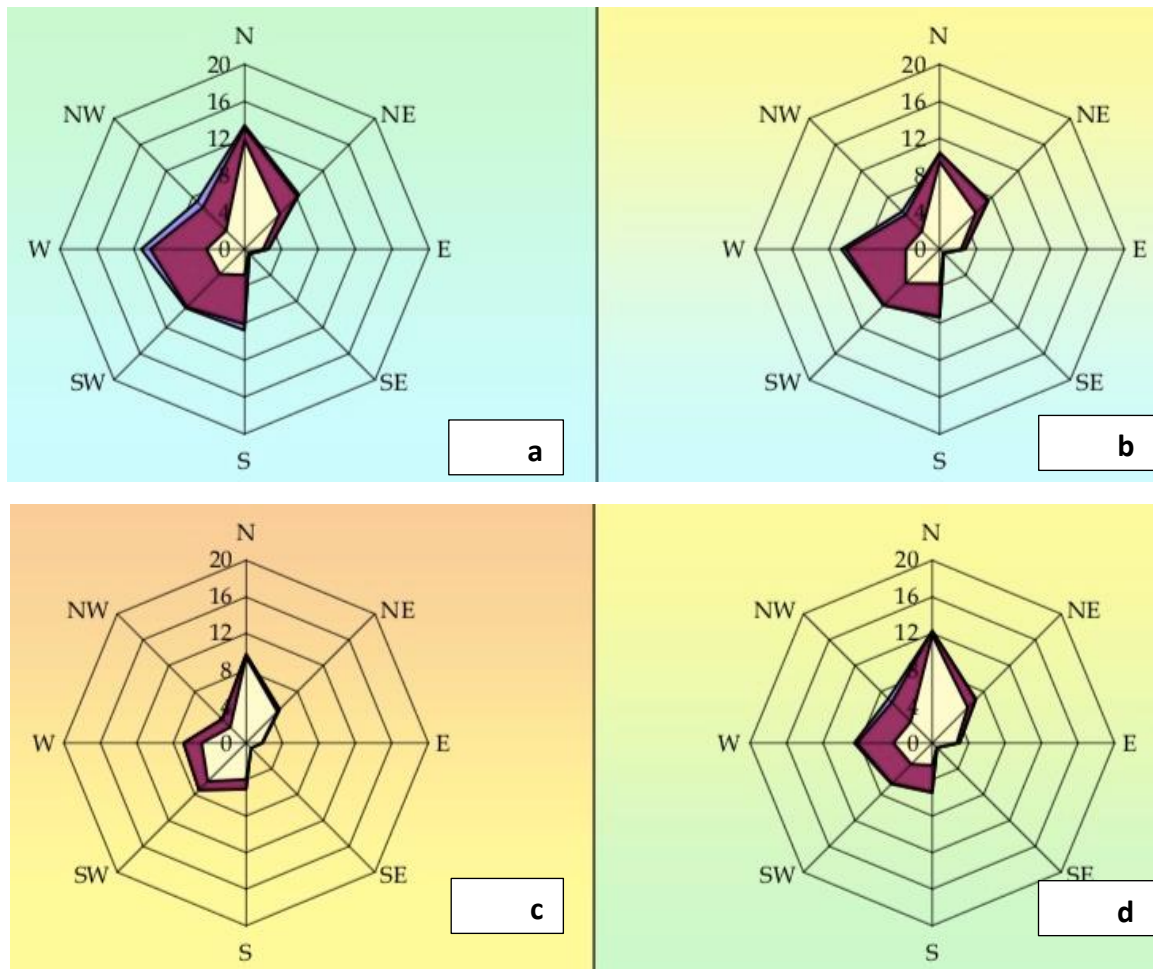


Figura 21 Ventosità media per inverno (a), primavera (b), estate (c), e autunno (d) durante il periodo 1971-2000 registrate nella stazione meteorologica di Fertilia.

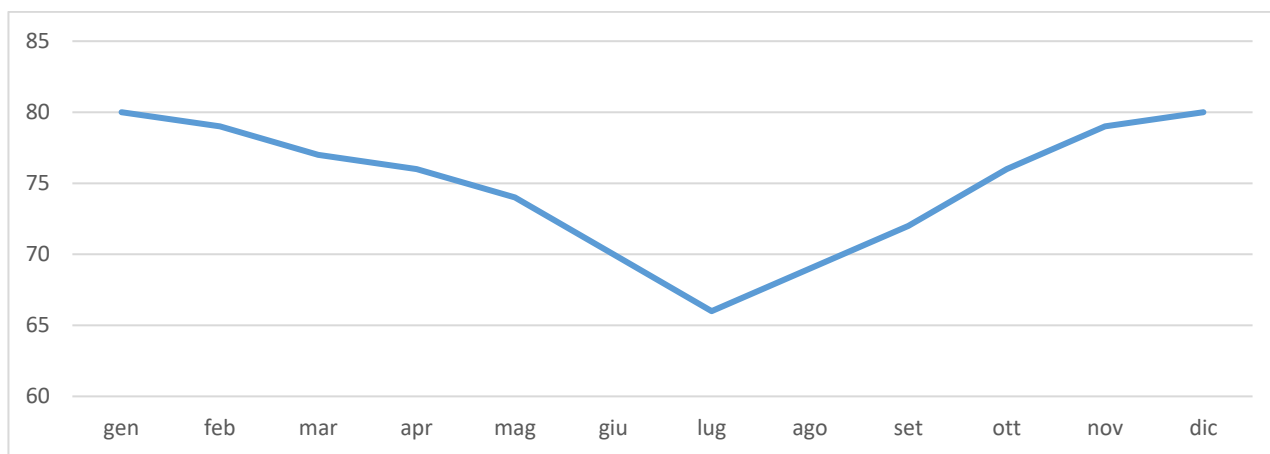


Figura 22 Umidità relativa per la stazione di Fertilia, per il periodo 1971-2000.

L'ultima variabile significativa che condiziona l'evapotraspirazione è l'umidità relativa, ossia il rapporto tra la quantità di vapore d'acqua contenuta in una massa d'aria rispetto e quella massima potenziale in relazione alla sua temperatura. Dalla tabella riportata in Fig.22, che riporta i valori dell'umidità relativa media mensile ed annuale della stazione di Fertilia per il periodo 1971-2000, si nota che tale valore raggiunge valori più elevati nei mesi invernali (Novembre-Febbraio) e valori minimi nel mese di Luglio.

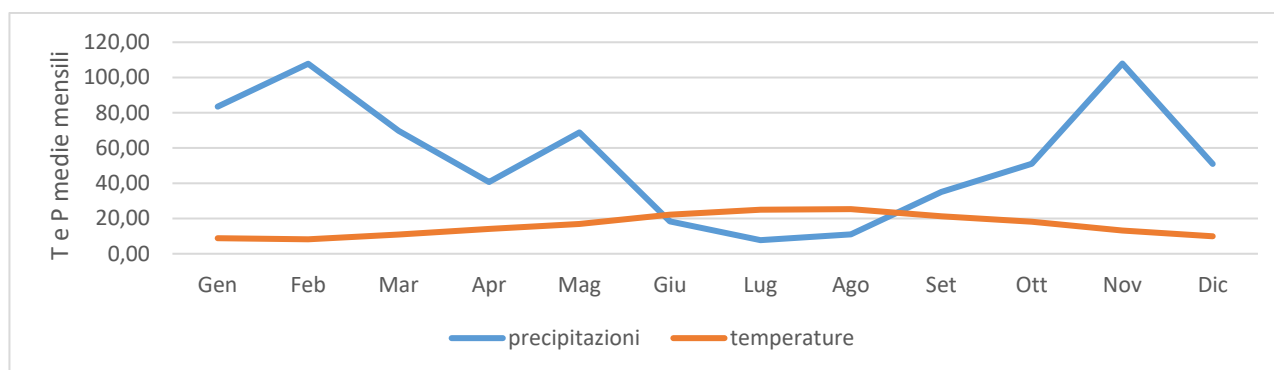


Figura 23 Diagramma ombrotermico (Walter e Lieth) per il settore di Sassari.

Il diagramma ombrotermico elaborato per l'area di Sassari a partire dai dati sulla temperatura media e precipitazioni medie permette di comparare contemporaneamente i regimi medi mensili termici e pluviometrici nell'arco del periodo considerato. L'andamento delle curve consente di visualizzare che nei mesi estivi, dove la temperatura media mensile raggiunge valori superiori ai 24 °C, si hanno i valori di piovosità inferiori, mentre nei mesi invernali, dove le temperature medie mensili sono pari a 9°C, si raggiungono le piovosità più elevate.

Il clima è caratterizzato da un periodo caldo con scarsa piovosità e uno più freddo e piovoso. Nel grafico di si nota che la curva delle precipitazioni giace al di sotto di quella delle temperature nei mesi estivi, che rappresentano il periodo secco in quanto prevale l'evapotraspirazione rispetto agli apporti idrici.

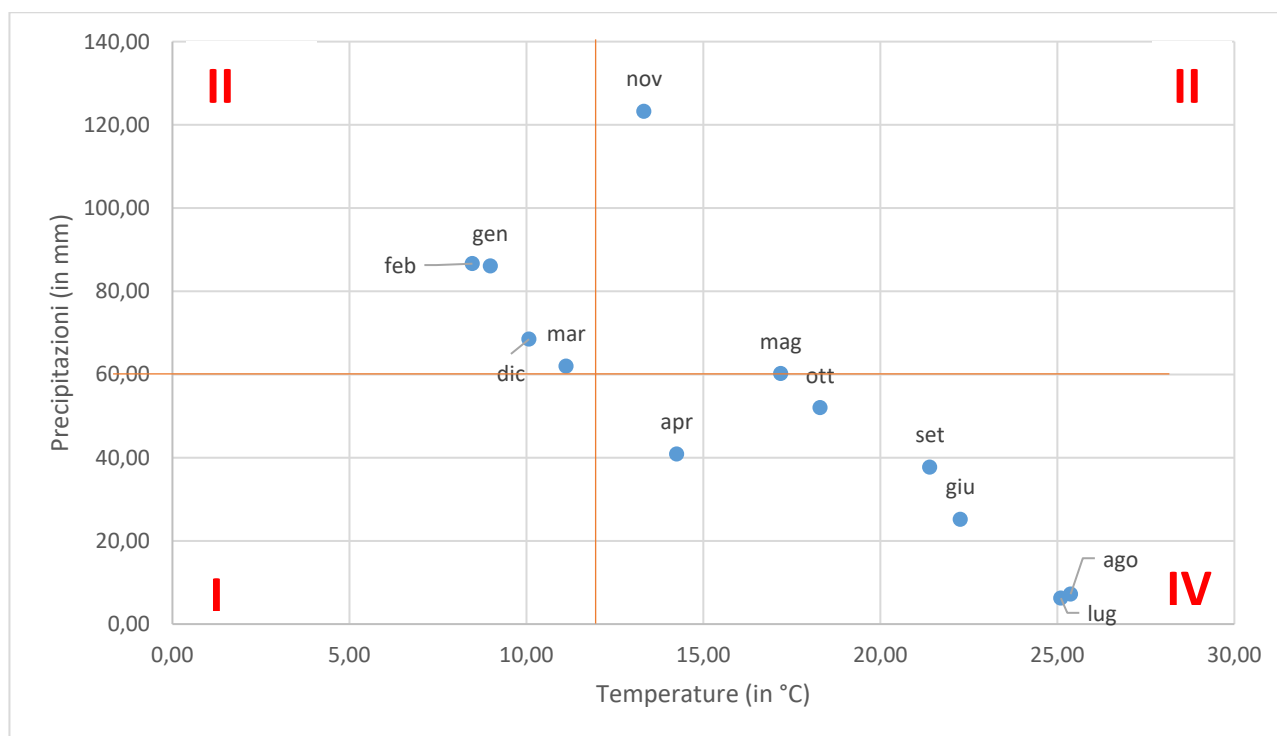


Figura 24 Climogramma relativo all'area di Sassari.

L'analisi delle medie mensili di temperatura e piovosità relative al periodo 2012-2018 permette di classificare il clima dell'area di interesse come "mediterraneo con estate calda", nel quale la temperatura media annua (16 °C), non scende mai sotto agli 8 °C, e per quattro mesi (Giugno-Settembre) supera i 22 °C, e le precipitazioni sono superiori ai 650 mm annui.

Dal climogramma (Fig.24) realizzato a partire dai valori medi di precipitazioni e temperature relativi al periodo 2012-2018 per l'area di interesse, nel quale i quadranti definiscono le diverse tipologie di climi, ossia freddo arido (I), freddo umido (II), caldo umido (III) e caldo arido (IV), è evidente che il settore in studio è caratterizzato da due periodi, uno lungo di caldo arido ed uno limitato freddo umido.

La classificazione fatta sul clima della regione è confermata anche dall'indice di aridità medio di Demartonne stimato per l'area in oggetto che ricade nel settore da "secco – sub-umido" a "subumido" per il periodo considerato.

L'analisi dei parametri meteorologici permette di confermare l'andamento climatico rilevato in quasi tutta la Sardegna, nettamente bistagionale con le stagioni caldo arida e fresca umida che si alternano nel corso dell'anno, intervallate da due brevi stagioni a carattere intermedio.

9. INQUADRAMENTO IDROGEOLOGICO

9.1. SCHEMA DELLA CIRCOLAZIONE IDRICA SUPERFICIALE

Secondo la classificazione dei bacini sardi riportata nel Piano di Assetto Idrogeologico, il comune di Siligo è incluso nel sub-bacino n° 3 Coghinas-Mannu-Temo.

Il Sub_Bacino si estende per 5402 Km², pari al 23% del territorio regionale; in esso sono presenti nove opere di regolazione in esercizio e cinque opere di derivazione. Dal punto di vista idrografico, i corsi d'acqua principali sono i seguenti:

- Rio Mannu di Porto Torres, sul quale confluiscono, nella parte più montana, il Rio Bidighinzu con il Rio Funtana Ide (detto anche Rio Binza 'e Sea).

- Il Rio Minore che si congiunge al Mannu in sponda sinistra. - Rio Carrabusu affluente dalla sinistra idrografica.

- Rio Mascari, affluente del Mannu di Porto Torres in sponda destra, si innesta nel tratto mediano del rio presso la fermata San Giorgio delle Ferrovie Complementari.

- Fiume Temo, regolato dall'invaso di Monteleone Roccadoria, riceve i contributi del Rio Santa Lughia, Rio Badu 'e Ludu, Rio Mulino, Rio Melas, affluenti di sinistra che si sviluppano nella parte montana del bacino. Negli ultimi chilometri il Temo, unico caso in Sardegna, è navigabile con piccole imbarcazioni; il suo sbocco al mare, sulla spiaggia di Bosa Marina, avviene tramite un ampio estuario.



Figura 25 Suddivisione dei bacini idrografici sardi.

Il reticolo idrografico su queste litologie è caratterizzato da una ramificazione poco sviluppata in tutta l'area vasta che include le zone di interesse per i progetti di installazione del parco fotovoltaico.

Lo sviluppo del reticolo idrografico è strettamente connesso alle caratteristiche chimico-fisiche delle rocce costituenti il substrato, e al controllo tettonico che si manifesta molto evidente su alcune linee di deflusso. Le rocce calcaree sono generalmente caratterizzate da importanti sistemi di giunti e discontinuità, spesso visibili ad occhio nudo, che influenzano la circolazione idrica superficiale che si presenta poco articolata, indice che l'aliquota d'acqua di infiltrazione è maggiore dell'acqua che prende parte al ruscellamento superficiale.

I corsi d'acqua principali presenti nell'area sono: il **Riu Lasari** che scorre a est dell'impianto in direzione NS. E' il recettore delle acque dei suoi due immissari in destra idrografica che interessano anche la zona di

impianto 090068_FIUME_82325 e 090068_FIUME_79176 e il 090068_FIUME_82618. Sono aste fluviali di ordine gerarchico 1 e 2 secondo la classifica di Horton-Strahler. Più a sud l'asta fluviale 090068_FIUME_72444 si immette nel Riu Lasari in località N.ghe Santu Ortolu.

A monte dell'impianto invece le linee di deflusso vergono verso ovest incidendo le pareti marnose calcaree delle località Terricula e Badde Ulumu.

Il reticolo idrografico sulle litologie affioranti è impostato su un sistema di valli e compluvi, ed è caratterizzato da una ramificazione ben sviluppata nell'area vasta, ma poco sviluppata nell'area di interesse per lo sviluppo del progetto. Lo sviluppo del reticolo idrografico è strettamente connesso alle caratteristiche chimico-fisiche delle rocce costituenti il substrato, e al controllo tettonico che si manifesta molto evidente su alcune linee di deflusso.

Gli impluvi costituiscono essenzialmente le aste tributarie di primo e secondo ordine dei torrenti che scorrono più a valle: essi presentano carattere essenzialmente torrentizio con deflussi stagionali legati strettamente alle precipitazioni. Lungo i versanti a maggiore pendenza i corsi d'acqua assumono un elevato potere erosivo, mentre solamente a valle, in corrispondenza di aste di ordine intermedio sono evidenti fenomeni di deposizione di coltri alluvionali di spessore molto modesto.

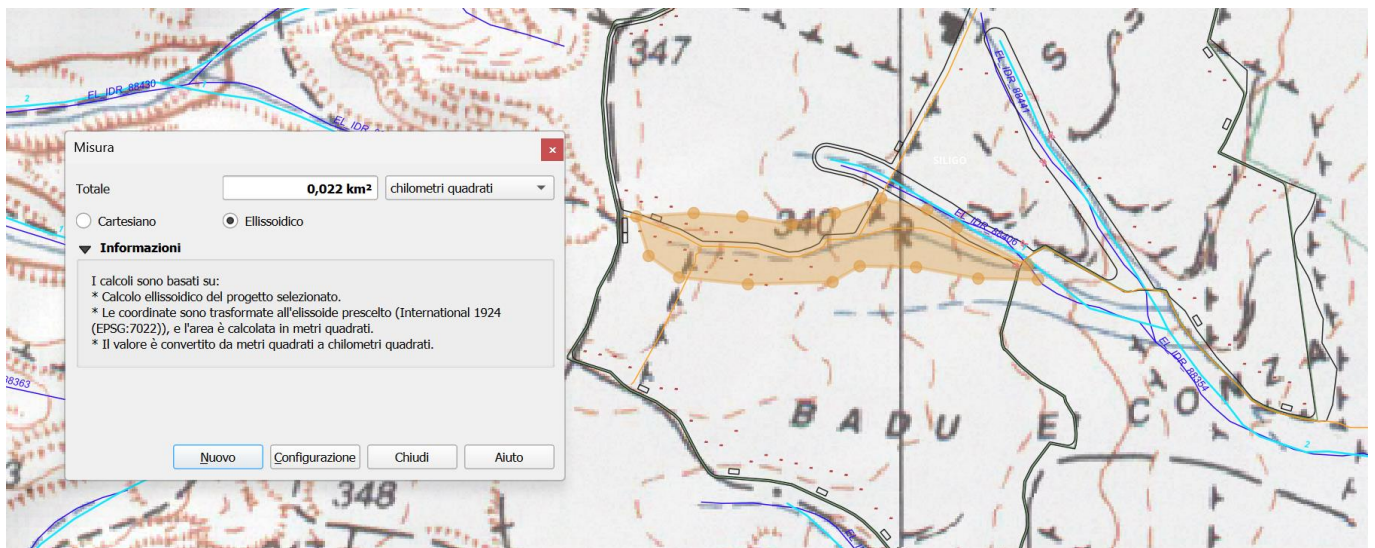
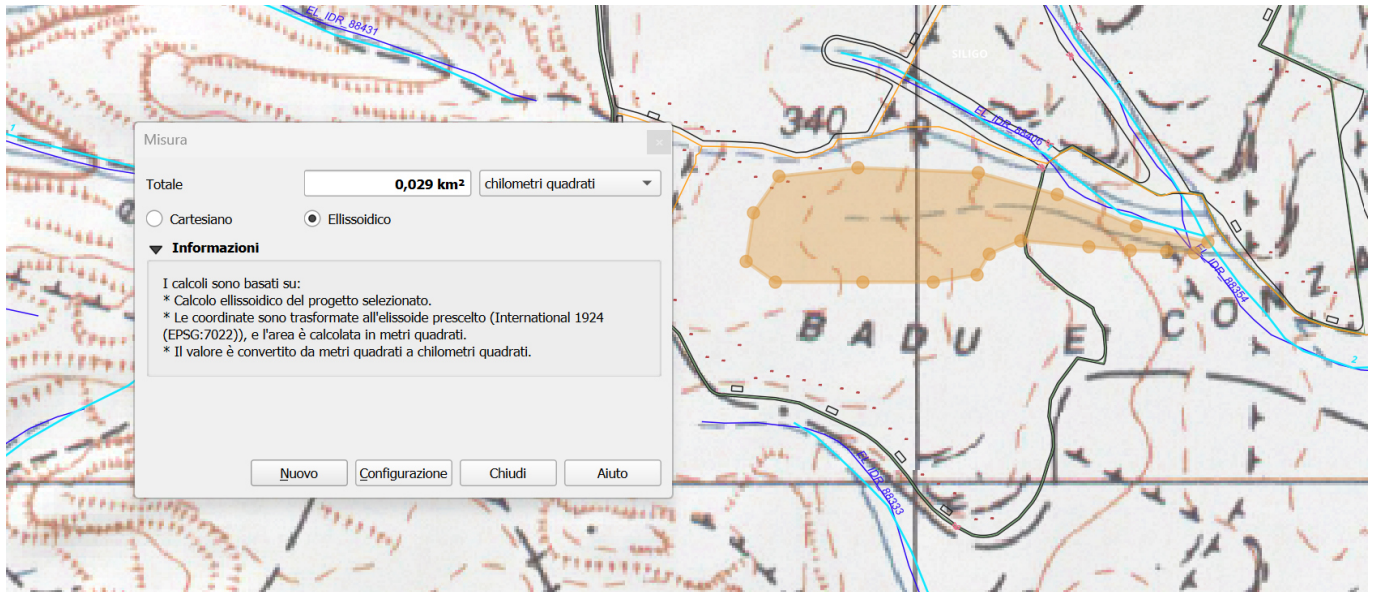
Lungo il percorso del cavidotto sono state individuate diverse interferenze con il reticolo idrografico, sia quelli individuato dalla CTR 10:10000 che dalla cartografia IGM 1:25000.

	Corso d'acqua interessato	Tipologia di interferenza
01	RIU LASARI	Attraversamento alveo / fasce art.30ter NTA PAI
02	EL_IDR_88758	Attraversamento alveo / fasce art.30ter NTA PAI
03	EL_IDR_88960	Attraversamento alveo / fasce art.30ter NTA PAI
04	EL_IDR_89326	Attraversamento alveo / fasce art.30ter NTA PAI
05	EL_IDR_96508	Attraversamento alveo / fasce art.30ter NTA PAI

All'interno dell'area di impianto sono presenti due elementi idrici, presenti anche nel layer Strahler e dei quali si è tenuto conto nella predisposizione del layout escludendoli.

Altresì sono presenti sulla mappa topografica CTR altri due elementi, immissari del rio denominato EL_IDR_88354 il cui bacino idrografico è minore di 0,50kmq.

Questi ultimi non sono presenti nel nuovo layer RAS denominato DBGT10k_22_v03 pubblicato nel settembre del 2023 e riportante il reticolo idrografico ufficiale regionale.



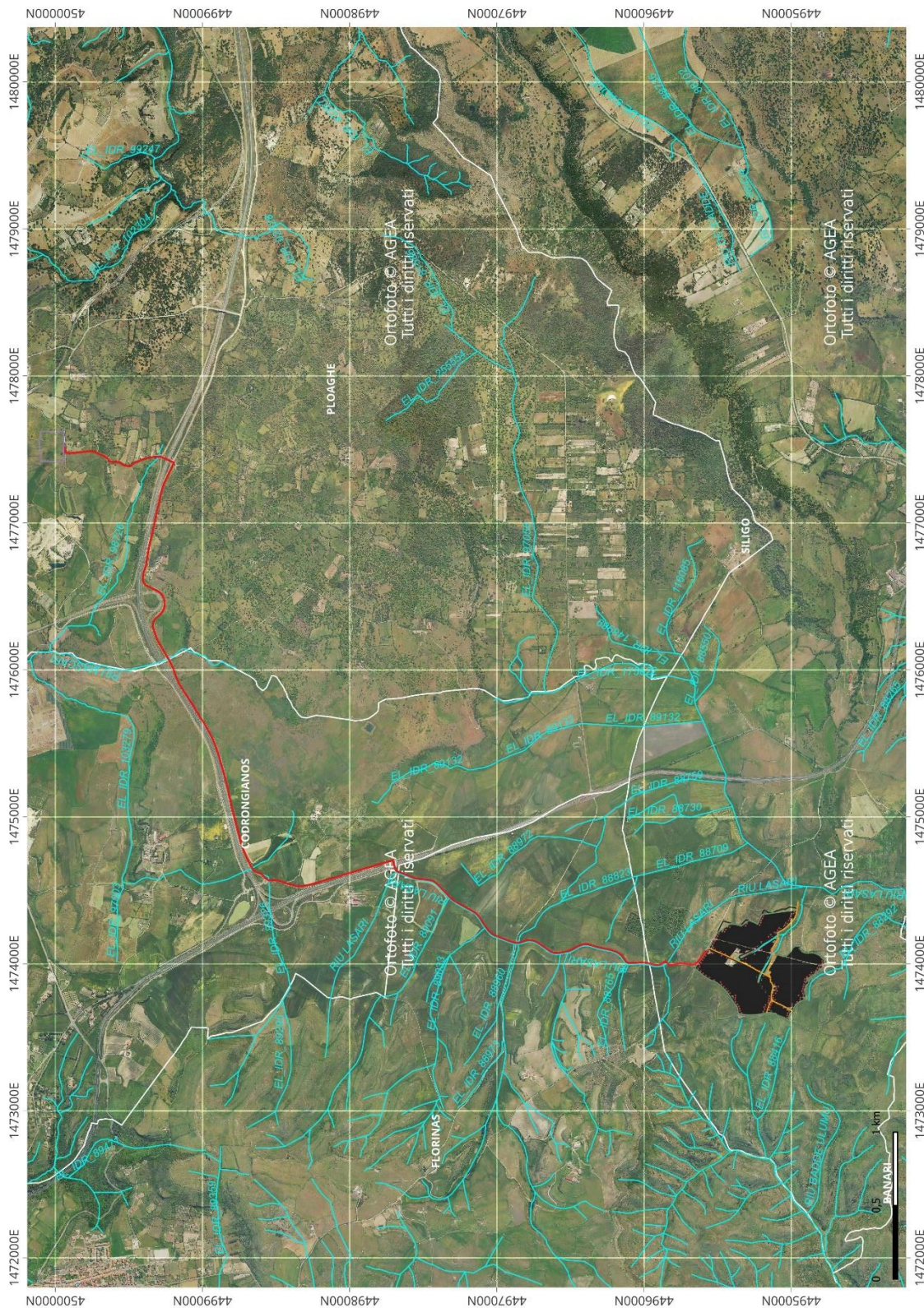


Figura 26 Carta dell'idrografia superficiale

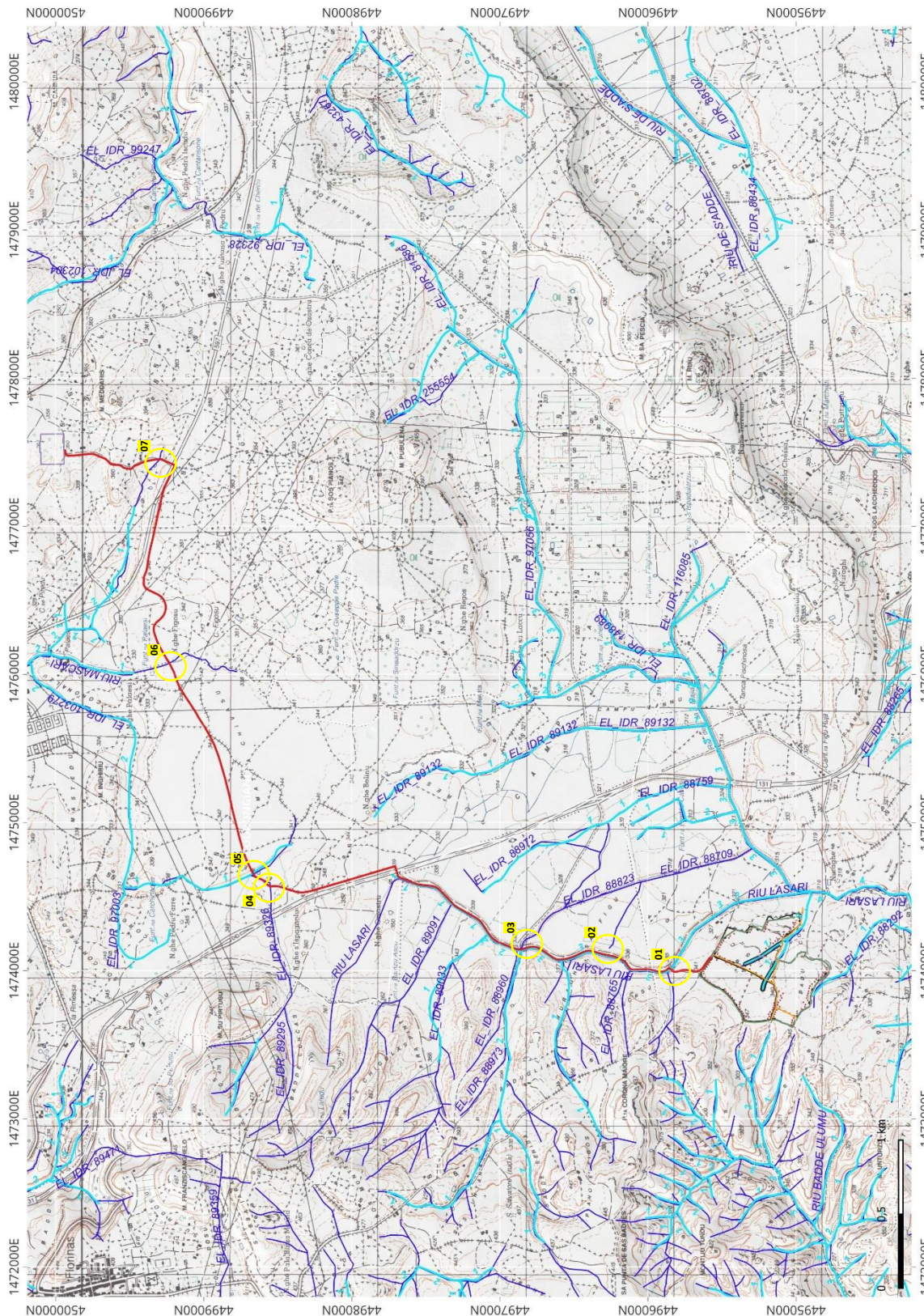


Figura 27 Carta delle interferenze con il reticolo superficiale

9.1. SCHEMA DELLA CIRCOLAZIONE IDRICA SOTTERRANEA

Uno studio idrogeologico ha lo scopo di identificare lo schema di circolazione idrica sotterranea relativo ad una determinata area per poter ricavare informazioni circa i rapporti tra litotipi presenti, la presenza di acqua e le possibili conseguenze derivanti dalla realizzazione di un'opera.

Nell'area di interesse sono presenti rocce di diversa natura, anche se principalmente sono da riferire al Miocene e al Quaternario.

Le coperture oligomioceniche su cui verranno installati i pannelli fotovoltaici in progetto, invece, per via della loro composizione chimica, sono mediamente favorevoli alla ritenzione delle acque, e possiedono permeabilità media per porosità.

Da un punto di vista idrogeologico le formazioni dell'area di studio possono essere divise in quattro gruppi principali:

- **Basamento Paleozoico.** Affiora nella parte occidentale dell'area vasta, ed è costituito da rocce massive e scistose semipermeabili per fratturazione, da rocce impermeabili, e da rocce permeabili. Complessivamente la permeabilità del basamento metamorfico è scarsa, con Coefficienti di Permeabilità variabili tra 10^{-7} e 10^{-9} .

- **Coperture sedimentarie oligo-mioceniche.** Affiorano nella porzione centrale e orientale dell'area di interesse, e sono costituite da depositi caratterizzati da porosità medio bassa per porosità o medio bassa per fratturazione.

- **Depositi quaternari.** I depositi quaternari occupano aree molto limitate nella parte centrale e meridionale dell'area di interesse raggiungendo spessori poco significativi, con una permeabilità medio-alta per porosità. I depositi di versante essendo in gran parte costituiti da una struttura clasto-sostenuta e scarsa matrice (falde di detrito), presentano una permeabilità molto elevata, in ogni caso i loro spessori esigui non garantiscono una potenza sufficiente per generare acquiferi significativi.

Le litologie che interessano l'area di progetto presentano una **permeabilità medio per porosità (MP)** per quanto attiene ai depositi a matrice marnoso-calcareo oligo-miocenico e **medio-bassa per fratturazione** per i depositi vulcanici pleistocenici, come è possibile vedere dalla Carta delle permeabilità resa disponibile Geoportale della Regione Autonoma della Sardegna.

Dalla carta dei sistemi idrogeologici del foglio 459 "Sassari", si possono osservare le isopieze relative al complesso oligomiocenico le quali presentano direzioni di deflusso da sud-est verso nord-ovest.

Al complesso sedimentario marnoso-calcareo (CMC), su cui sorgerà l'impianto, viene attribuita una conducibilità idraulica di **$k = 10^{-8}$** .

Al complesso piroclastico e lavico (CPI), viene attribuita una conducibilità idraulica di **$k = 10^{-8}$**

Al complesso sedimentario recente (Q), viene attribuita una conducibilità idraulica di **$k = 10^{-4}$**

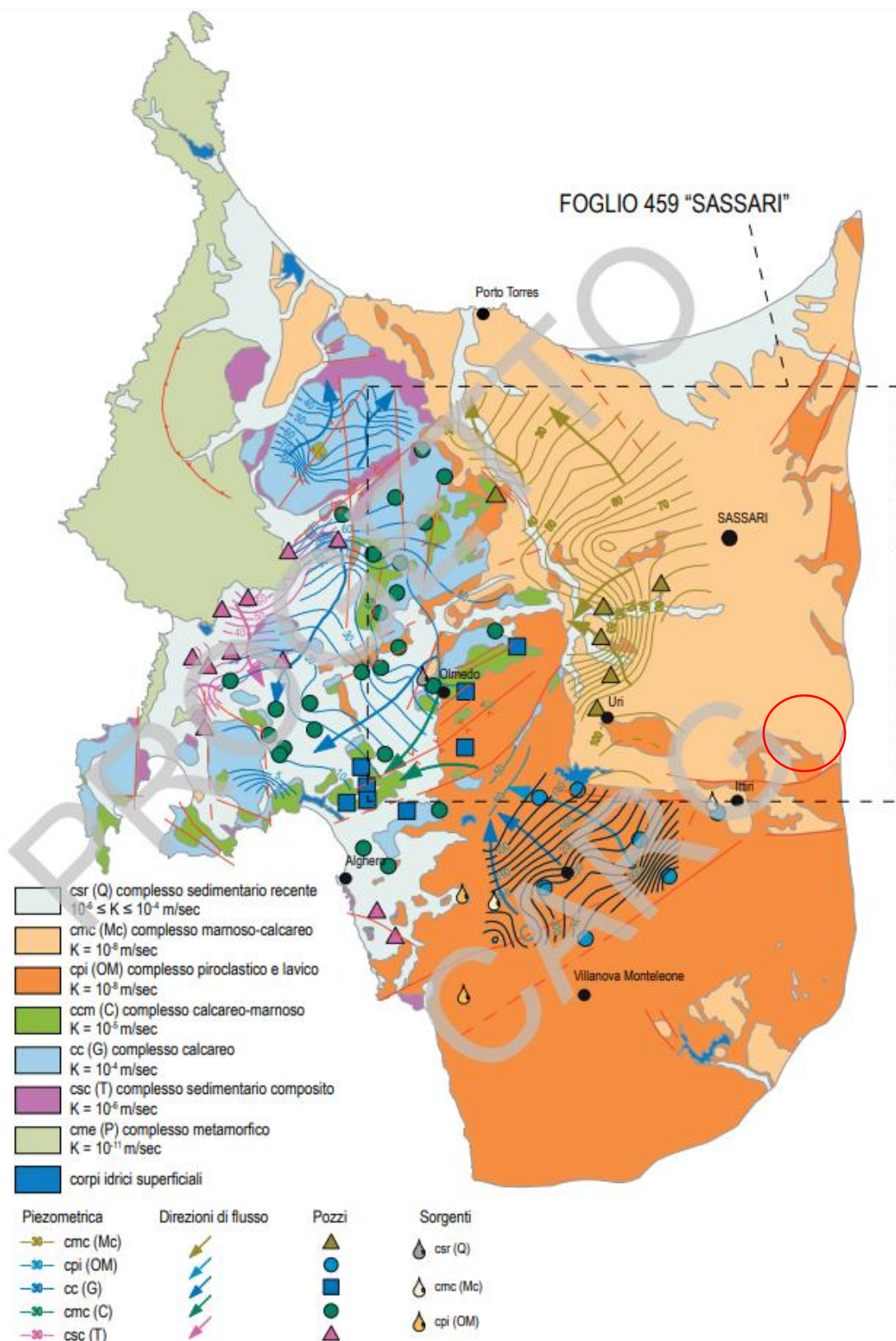


Figura 28 Sistemi idrogeologici dell'area occidentale del foglio 459 "Sassari"

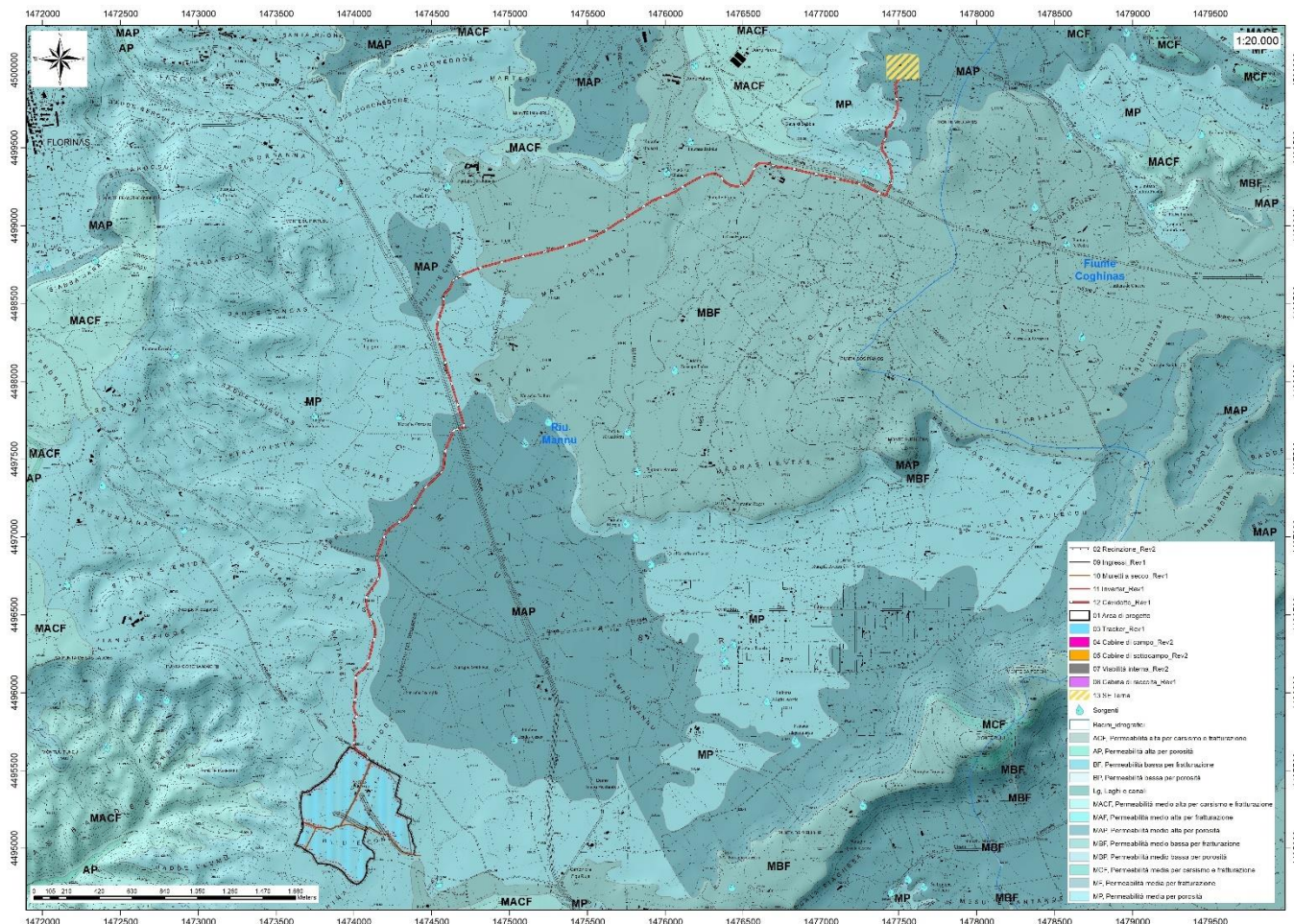


Figura 29 Carta delle permeabilità dei substrati

9.2. DISSESTI IN ATTO O POTENZIALI CHE POSSONO INTERFERIRE CON L'OPERA E LORO TENDENZA EVOLUTIVA

La predisposizione naturale di un territorio a fenomeni di instabilità legata alle dinamiche geomorfologiche deriva in generale dall'interazione di diversi fattori come natura geologica dei terreni, loro assetto sia deposizionale che geostrutturale, circolazione delle acque superficiali e sotterranee con la morfologia cioè la geometria del territorio.

L'area oggetto di intervento, in base delle caratteristiche suddette non presenta allo stato attuale evidenze di dissesto di natura geologico-geomorfologica in atto o potenziale escludendo la naturale evoluzione del pendio.

10. INQUADRAMENTO PEDOLOGICO

Le tipologie di suolo sono legate per genesi alle caratteristiche delle formazioni geo-litologiche presenti e all'assetto idraulico di superficie nonché ai diversi aspetti morfologici, climatici e vegetazionali.

Poiché la litologia del substrato o della roccia madre ha una importanza fondamentale quale fattore nella pedogenesi dei suoli, le unità principali sono state delimitate in funzione delle formazioni geologiche prevalenti, e successivamente all'interno di esse sono state individuate unità, distinte dalla morfologia del rilievo, dall'acclività e dall'uso del suolo prevalente

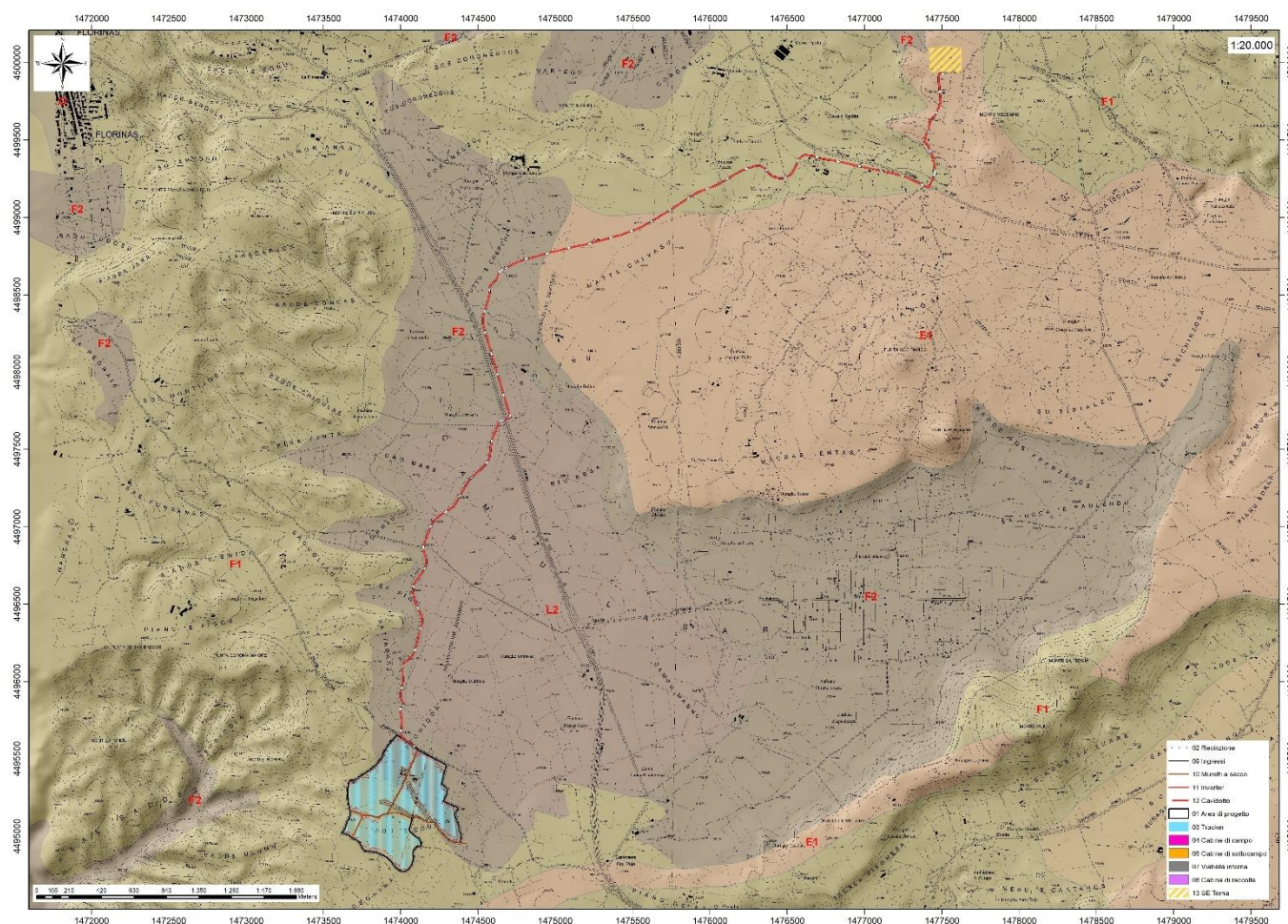


Figura 30 Stralcio della Carta dei Suoli della Sardegna (Fonte RAS)

L'area di progetto su cui verranno installati i pannelli ricade nei paesaggi su

- **“Calcare organogeni, calcareniti, arenarie e conglomerati del Miocene e relativi depositi colluviali.”**
Aree con forme da aspre a subpianeggianti, a tratti fortemente incise. Rocca affiorante, suoli a profilo A-C e A-Bt-C, da poco a mediamente profondi, franco sabbioso argillosi, permeabili, neutri,

saturi. ROCK OUTCROP, LITHIC, TYPIC XERORTHENTS, LITHIC, TYPIC RHODOXERALS, subordinatamente XEROFLUENTS. cui sono associati suoli dell'unità F1 della Carta dei Suoli della Sardegna.

- **"Calcari organogeni, calcareniti, arenarie e conglomerati del Miocene e relativi depositi colluviali."** Aree con forme da dolci ad ondulate, piu' o meno incise, con profili A-C, A-Bw-C, A-Bt-C e subordinatamente roccia affiorante, da mediamente a poco profondi, da franco sabbioso argillosi ad argillosi, permeabili, neutri, saturi. TYPIC, LITHIC XERORTHENTS, TYPIC, LITHIC XEROCHREPTS, TYPIC RHODOXERALS, subordinatamente ROCK OUTCROP, ARENTS, XEROFLUENTS cui sono associati suoli dell'unità F2 della Carta dei Suoli della Sardegna.

11.USO DEL SUOLO

Dalla Carta dell'Uso del Suolo, resa disponibile dalla Regione Sardegna, si evince che l'ambito di progetto dell'Impianto agri-voltaico "Siligo 2" si inserisce in un contesto in cui il suolo ricade in vari livelli.

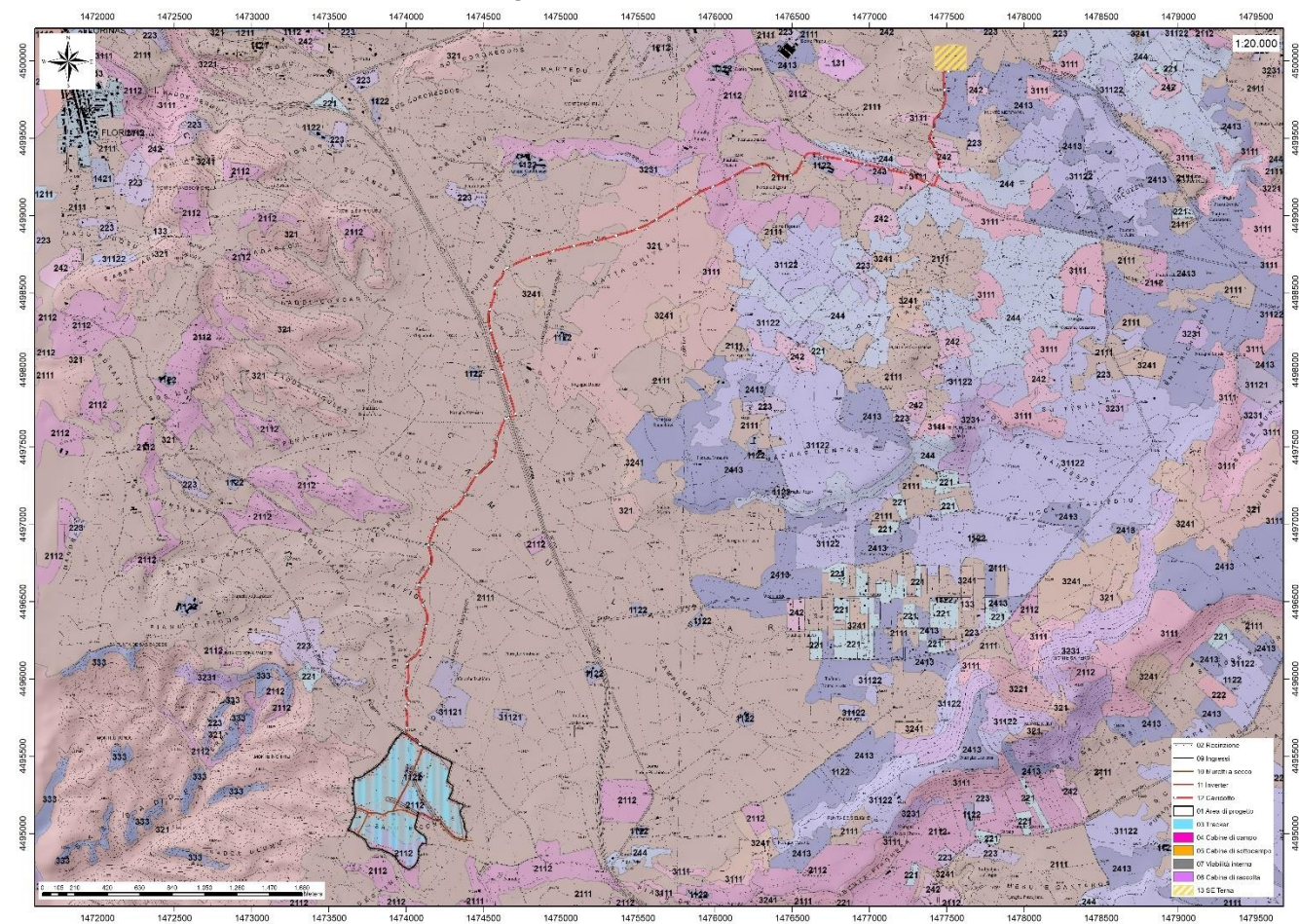


Figura 31 Stralcio della Carta dell'Uso del Suolo, (Fonte RAS)

In particolare, dall'analisi della cartografia esistente, si evince che ricadono nei seguenti livelli:

- **2112 PRATI ARTIFICIALI**
- **2111 SEMINATIVI IN AREE NON IRRIGUE**

12.INDAGINI GEOGNOSTICHE

La necessità di integrare le informazioni di tipo geologico e geotecnico derivanti da studi pregressi, dalla letteratura di settore e dai rilievi geologici e geostrutturali in sito, ha reso necessario predisporre un piano di indagini geognostiche propedeutiche alla definizione del modello geologico di riferimento di sito funzionale alle opere previste in progetto così come richiamato dalle Norme Tecniche sulle Costruzioni (NTC2018 - §Cap. 6.2.1).

L'obiettivo delle indagini realizzate è stato:

- Definire la stratigrafia ed i rapporti tra le formazioni geologiche interessate dagli interventi;
- Definire le caratteristiche fisico-meccaniche degli ammassi rocciosi coinvolti nelle opere in progetto;

L'indagine geognostica è stata realizzata essenzialmente mediante prospezione geofisica e rilievo geostrutturale in sito.

Le prospezioni geofisiche sono state realizzate impiegando la metodologia sismica con la tecnica MASW. L'indagine sismica con tecnica MASW (Multichannel Analysis of SurfaceWaves) è una tecnica di indagine non invasiva, che attraverso la definizione del profilo di velocità delle onde di taglio verticali Vs, è in grado di ricostruire una sismo-stratigrafia atta a permettere la definizione della categoria di suolo ai sensi del DM 17/01/2018.

In data **26/10/2022** è stata realizzata la prospezione geofisica integrativa ad opera della ditta Geoservice S.r.l., articolata in:

- Esecuzione di n° 1 stendimenti di sismica con tecnica MASW (M1).
- Elaborazione dei dati tramite analisi delle prospezioni acquisite in campagna, applicazione filtri, e restituzione grafica delle sezioni sismiche con l'impiego del software specialistici.

Lo stendimento è stato posizionato in modo da esser rappresentativo delle condizioni litostratigrafiche e geostrutturali, in accordo con quanto rilevato dai rilievi di superficie.

Nella Tabella seguente è riportato il quadro riassuntivo delle indagini svolte, con le sigle identificative, la direzione di esecuzione (da geofono iniziale a quello finale), e la loro lunghezza complessiva, mentre nella figura seguente è rappresentato il punto dove sono state effettuate le indagini.

N° progr.	Tipologia di indagine	Sigla Stendimento	Direzione	Intervallo Geofoni [m]	Lunghezza [m]
1	MASW	M1	SSW-NNE	2,0	46

Di seguito si riportano le specifiche di rilievo e gli esiti dell'elaborazione dei profili sismici acquisiti.

12.1. M.A.S.W. – TECNICA E PARAMETRI UTILIZZATI

Il metodo MASW (Multichannel Analysis of Surface Waves) è una tecnica di indagine non invasiva, che individua il profilo di velocità delle onde di taglio verticali Vs, basandosi sulla misura delle onde superficiali fatta in corrispondenza di diversi sensori (geofoni) posti sulla superficie del suolo.

Il contributo predominante alle onde superficiali è dato dalle onde di Rayleigh, che viaggiano con una velocità correlata alla rigidità della porzione di terreno interessata dalla propagazione delle onde. In un mezzo stratificato le onde di Rayleigh sono dispersive, cioè onde con diverse lunghezze d'onda si propagano con diverse velocità di fase e velocità di gruppo (Achenbach, J.D., 1999, Aki, K. and Richards, P.G., 1980) o detto in maniera equivalente la velocità di fase (o di gruppo) apparente delle onde di Rayleigh dipende dalla frequenza di propagazione. La natura dispersiva delle onde superficiali è correlabile al fatto che onde ad alta frequenza con lunghezza d'onda corta si propagano negli strati più superficiali e quindi danno informazioni sulla parte più superficiale del suolo, invece onde a bassa frequenza si propagano negli strati più profondi e quindi interessano gli strati più profondi del suolo." (da Caratterizzazione sismica dei suoli con il metodo MASW (Multichannel Analysis of Surface Waves – V. Roma 2006). L'indagine svolta ha visto l'applicazione di tecnica M.A.S.W. di tipo attivo, ossia misura del comportamento dei terreni a seguito di un'energizzazione.



Figura 32 Schema geometrico di acquisizione dei dati per gli stendimenti di lunghezza L = 46,0 m

L'indagine si sviluppa mediante la materializzazione sul terreno di una linea retta mediante la posa di una fettuccia metrica. A seguire vengono posizionati i geofoni intervallati ad una distanza pari a 2,0 m in funzione anche della disponibilità di spazio. Esternamente alla stesa geofonica, da ora base sismica, a distanza di interesse che può essere pari ad un multiplo della distanza intergeofonica ma anche variabile (in funzione delle disponibilità di cantiere), sia in andata (ovvero in prossimità del geofono 1) che al ritorno (ovvero all'ultimo geofono posizionato sulla base sismica), vengono svolte delle energizzazioni mediante massa battente pari a Kg 10,0. Nel caso in esame, sono state svolte le energizzazioni in "andata" e in

"ritorno" con distanza dal geofono 1 e dal geofono 24 crescente e pari a multipli della distanza intergeofonica.

Il metodo risulta efficace se la base sismica è ubicata su piano a pendenza costante e per una stratificazione piano parallela al piano topografico. Al fine di svolgere al meglio la campagna geofisica M.A.S.W., è utile che lo sviluppo lineare della base sismica sia limitata in lunghezza secondo i siti.

Il numero di geofoni utile all'esecuzione ottimale di un'indagine M.A.S.W. è risultato, per il cantiere svolto, di 24 geofoni dei quali sono state utilizzate tutte le tracce. Il tempo dell'acquisizione è stato definito tra 1.00 e 2.00 secondi.

La maggior profondità di caratterizzazione raggiunta è legata alla minor frequenza registrata. Come già indicato nella figura, una frequenza alta caratterizza gli strati superficiali. La registrazione delle frequenze minori è destinata ai geofoni più lontani dalla sorgente.

12.2. M.A.S.W. – ELABORAZIONE RISULTATI

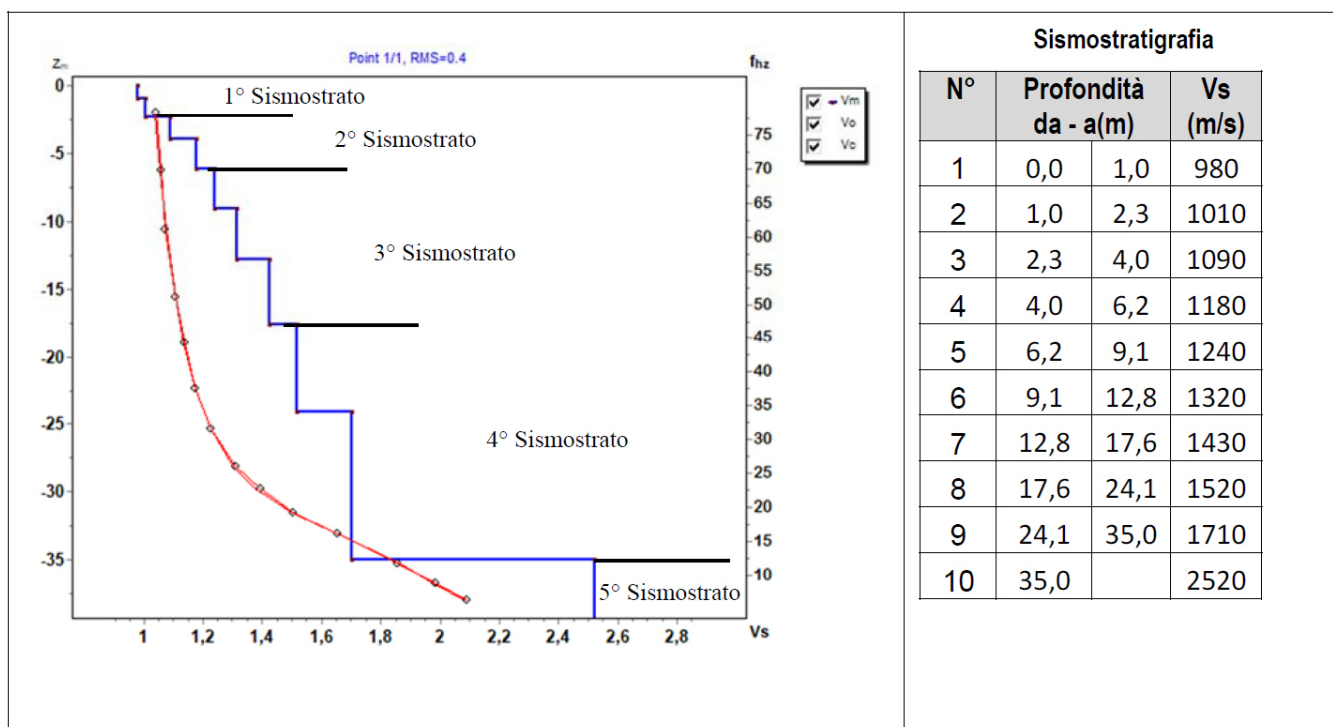
L'indagine sismica con tecnica MASW ha permesso di ottenere il profilo medio di velocità delle onde di taglio verticali Vs della sezione MX, dal quale si possono distinguere i sismostrati di seguito indicati. Si ricorda che si tratta di un profilo medio della velocità di taglio Vs.

12.2.1. BASE SISMICA M1

L'indagine sismica con tecnica MASW ha permesso di ottenere il profilo medio di velocità delle onde di taglio verticali Vs della sezione **M1**, dal quale si possono distinguere i sismostrati di seguito indicati. Si ricorda che si tratta di un profilo medio della velocità di taglio Vs.

Profondità [m sotto il pc]	Descrizione
0,0 – 2,3	1° sismostrato con Vs tra 980 e 1010 m/s Substrato roccioso tenero e/o fratturato
2,3 – 6,2	2° sismostrato con Vs tra 1090 e 1180 m/s Substrato roccioso fratturato
6,2 – 17,6	3° sismostrato con Vs tra 1240 e 1430 m/s Substrato roccioso da debolmente fratturato a sano
17,6 – 35,0	4° sismostrato con Vs tra 1520 e 1710 m/s Substrato roccioso sano
>35,0	5° sismostrato con Vs di 2520 m/s substrato roccioso sano

MASW M1-PROFILO Vs



Nella tabella seguente si illustrano i parametri di deformazione dinamici medi calcolati tramite correlazione bibliografica dei parametri di input Vs, e Vp e densità (da bibliografia/correlazione) per ciascun sismostrato definito dalle indagini eseguite.

Sismostrato	Prof/zona	CT*	Densità γ	Vp	Vs	Coefficiente di Poisson ν	Modulo di Young dinamico o Ed	Modulo di Young statico Ed	Modulo di taglio G ₀	Modulo di comprimibilità o di Bulk - K
			[Kg/m ³]	[m/s]	[m/s]		[MPa]	[MPa]	[MPa]	[MPa]
1	0,0-2,3	5%	1.900	1.990	995	0,33	5.021	251	1.883	5.021
2	2,3-6,2	10%	2.000	2.270	1.135	0,33	6.875	687	2.579	6.875
3	6,2-17,6	15%	2.100	2.670	1.335	0,33	9.983	1.497	3.746	9.983
4	17,6-35,0	20%	2.200	3.230	1.615	0,33	15.299	3.060	5.737	15.299
5	>35,0	30%	2.300	5.040	2.520	0,33	38.953	11.686	14.602	38.953

Figura 33 Parametri di deformazione dinamici e statici dei terreni determinati tramite misure sismiche



Figura 34 Localizzazione stendimento nell'area vasta



Figura 35 Particolare dell'ubicazione dello stendimento M1

13. ANALISI E SISMICITA' STORICA

Le azioni sismiche di progetto, in base alle quali valutare il rispetto dei diversi stati limite considerati, si definiscono a partire dalla pericolosità sismica di base del sito di costruzione e sono funzione delle caratteristiche morfologiche e stratigrafiche che determinano la risposta sismica locale.

Dalla normativa vigente NTC2018 si evince che la pericolosità sismica è definita in termini di accelerazione orizzontale massima attesa A_g in condizioni di campo libero su sito di riferimento rigido con superficie topografica orizzontale (di categoria A come definita al § 3.2.2), nonché di ordinate dello spettro di risposta elastico in accelerazione ad essa corrispondente $S_e(T)$, con riferimento a prefissate probabilità di eccedenza PVR come definite nel § 3.2.1, nel periodo di riferimento VR, come definito nel § 2.4. Inoltre, in alternativa è ammesso l'uso di accelerogrammi, purchè correttamente commisurati alla pericolosità sismica locale dell'area della costruzione.

Le forme spettrali sono definite, per ciascuna delle probabilità di superamento PVR nel periodo di riferimento VR, a partire dai valori dei seguenti parametri su sito di riferimento rigido orizzontale:

- A_g accelerazione orizzontale massima al sito;
- F_o valore massimo del fattore di amplificazione dello spettro in accelerazione orizzontale;
- TC^* valore di riferimento per la determinazione del periodo di inizio del tratto a velocità costante dello spettro in accelerazione orizzontale.1

Per i valori di A_g , F_o e TC^* necessari per la determinazione delle azioni sismiche, si fa riferimento agli Allegati A e B al Decreto del Ministro delle Infrastrutture 14 gennaio 2008, pubblicato nel S.O. alla Gazzetta Ufficiale del 4 febbraio 2008, n.29, ed eventuali successivi aggiornamenti.

13.1. VITA NOMINALE, CLASSI D'USO E PERIODO DI RIFERIMENTO

La tipologia di costruzioni previste in progetto (NTC2018 - par.2.4) ha **vita nominale ≥ 50 anni** (opere ordinarie, ponti, opere infrastrutturali e dighe di grandi dimensioni...) appartiene alla **classe d'uso II**.

Tabella 2.4.I – Vita nominale V_N per diversi tipi di opere

	TIPI DI COSTRUZIONE	Vita Nominale V_N (in anni)
1	Opere provvisorie – Opere provvisionali - Strutture in fase costruttiva ¹	≤ 10
2	Opere ordinarie, ponti, opere infrastrutturali e dighe di dimensioni contenute o di importanza normale	≥ 50
3	Grandi opere, ponti, opere infrastrutturali e dighe di grandi dimensioni o di importanza strategica	≥ 100

Classe II: Costruzioni il cui uso preveda normali affollamenti, senza contenuti pericolosi per l'ambiente e senza funzioni pubbliche e sociali essenziali. Industrie con attività non pericolose per l'ambiente. Ponti, opere infrastrutturali, reti viarie non ricadenti in Classe d'uso III o in Classe d'uso IV, reti ferroviarie la cui interruzione non provochi situazioni di emergenza. Dighe il cui collasso non provochi conseguenze rilevanti.

Le azioni sismiche su ciascuna costruzione vengono valutate in relazione ad un periodo di riferimento V_R che si ricava, per ciascun tipo di costruzione, moltiplicandone la vita nominale V_N per il coefficiente d'uso C_U :

$$V_R = V_N \times C_U$$

Il valore del coefficiente d'uso C_U è definito, al variare della classe d'uso, come mostrato in Tab. 2.4.II. Nel Caso specifico $C_U = 1$.

Tab. 2.4.II – Valori del coefficiente d'uso C_U

CLASSE D'USO	I	II	III	IV
COEFFICIENTE C_U	0,7	1,0	1,5	2,0

Il valore del periodo di riferimento è $V_r = 50$

Amplificazione stratigrafica e topografica: Nel caso di pendii con inclinazione maggiore di 15° e altezza maggiore di 30 m, l'azione sismica di progetto deve essere opportunamente incrementata o attraverso un coefficiente di amplificazione topografica o in base ai risultati di una specifica analisi bidimensionale della risposta sismica locale, con la quale si valutano anche gli effetti di amplificazione stratigrafica

La **categoria topografica è la T2** a cui corrisponde un valore del fattore di amplificazione pari a 1.2.

Tabella 3.2.IV – Categorie topografiche

Categoria	Caratteristiche della superficie topografica
T1	Superficie pianeggiante, pendii e rilievi isolati con inclinazione media $i < 15^\circ$
T2	Pendii con inclinazione media $i > 15^\circ$
T3	Rilievi con larghezza in cresta molto minore che alla base e inclinazione media $15^\circ \leq i \leq 30^\circ$
T4	Rilievi con larghezza in cresta molto minore che alla base e inclinazione media $i > 30^\circ$

Tabella 3.2.VI – Valori massimi del coefficiente di amplificazione topografica S_T

Categoria topografica	Ubicazione dell'opera o dell'intervento	S_T
T1	-	1,0
T2	In corrispondenza della sommità del pendio	1,2
T3	In corrispondenza della cresta del rilievo	1,2
T4	In corrispondenza della cresta del rilievo	1,4

Al fine di definire l'azione sismica di progetto, basata sull'identificazione della categoria del sottosuolo di riferimento, si è voluto definire il parametro fondamentale per la "classificazione sismica dei terreni", e quindi per la determinazione della categoria, **corrispondente alla velocità equivalente di propagazione delle onde di taglio VS30**, valutata entro i primi 30 m di profondità dal piano campagna ma nel caso specifico relativa alla quota di imposta delle fondazioni.

Per tale scopo, in accordo agli approcci semplificati proposti dal D.M. 17/01/2018 - Tab. 3.2.II (Figura 5.4) la determinazione del parametro delle onde di taglio VS30 è stato stimato mediante misura delle velocità sismiche attraverso l'esecuzione di una prospezione geofisica MASW di seguito descritta in dettaglio.

Categorie di sottosuolo: La classificazione del sottosuolo si effettua in base alle condizioni stratigrafiche ed ai valori della velocità equivalente di propagazione delle onde di taglio, Vs,eq (in m/s), definita dall'espressione con:

$$V_{S,eq} = \frac{H}{\sum_{i=1}^N \frac{h_i}{V_{S,i}}}$$

h_i spessore dell'i-esimo strato;
 $V_{S,i}$ velocità delle onde di taglio nell'i-esimo strato;
 N numero di strati;
 H profondità del substrato, definito come quella formazione costituita da roccia o terreno molto rigido, caratterizzata da Vs non inferiore a 800 m/s.

Esaminato il profilo delle Vs si pone come profondità del substrato 1,0 m ($V_s > 800$ m/s), ciò consente di classificare il terreno come **Categoria A: Ammassi rocciosi affioranti o terreni molto rigidi caratterizzati da valori di velocità delle onde di taglio superiori a 800 m/s, eventualmente comprendenti in superficie terreni di caratteristiche meccaniche più scadenti con spessore massimo pari a 3 m.**

Tabella 3.2.II – Categorie di sottosuolo

Categoria	Descrizione
A	<i>Ammassi rocciosi affioranti o terreni molto rigidi</i> caratterizzati da valori di $V_{s,30}$ superiori a 800 m/s, eventualmente comprendenti in superficie uno strato di alterazione, con spessore massimo pari a 3 m.
B	<i>Rocce tenere e depositi di terreni a grana grossa molto addensati o terreni a grana fina molto consistenti</i> con spessori superiori a 30 m, caratterizzati da un graduale miglioramento delle proprietà meccaniche con la profondità e da valori di $V_{s,30}$ compresi tra 360 m/s e 800 m/s (ovvero $N_{SPT,30} > 50$ nei terreni a grana grossa e $c_{u,30} > 250$ kPa nei terreni a grana fina).
C	<i>Depositati di terreni a grana grossa mediamente addensati o terreni a grana fina mediamente consistenti</i> con spessori superiori a 30 m, caratterizzati da un graduale miglioramento delle proprietà meccaniche con la profondità e da valori di $V_{s,30}$ compresi tra 180 m/s e 360 m/s (ovvero $15 < N_{SPT,30} < 50$ nei terreni a grana grossa e $70 < c_{u,30} < 250$ kPa nei terreni a grana fina).
D	<i>Depositati di terreni a grana grossa scarsamente addensati o di terreni a grana fina scarsamente consistenti</i> , con spessori superiori a 30 m, caratterizzati da un graduale miglioramento delle proprietà meccaniche con la profondità e da valori di $V_{s,30}$ inferiori a 180 m/s (ovvero $N_{SPT,30} < 15$ nei terreni a grana grossa e $c_{u,30} < 70$ kPa nei terreni a grana fina).
E	<i>Terreni dei sottosuoli di tipo C o D per spessore non superiore a 20 m</i> , posti sul substrato di riferimento (con $V_s > 800$ m/s).

In base ai dati di localizzazione, tipologia dell'opera e classe d'uso si sono calcolati i parametri sismici relativi alle verifiche SLO, SLD, SLV e SLC. (SW AZTEC Sisma 10.0 e GEOSTRU PS):

Stato Limite	Tr [anni]	a _g [g]	F _o	T _c ⁺ [s]
Operatività (SLO)	30	0.019	2.610	0.273
Danno (SLD)	35	0.020	2.628	0.280
Salvaguardia vita (SLV)	332	0.045	2.855	0.332
Prevenzione collasso (SLC)	682	0.055	2.930	0.356
Periodo di riferimento per l'azione sismica:	35			

Figura 36 Parametri sismici in funzione delle coordinate geografiche del sito

Dove:

Stati limite di esercizio

Stato Limite di Operatività (SLO)**Stato Limite di Danno (SLD)****a_g** accelerazione orizzontale massima al sito;**F_o** valore massimo del fattore di amplificazione dello spettro in accelerazione orizzontale.**T*C** periodo di inizio del tratto a velocità costante dello spettro in accelerazione orizzontale

Stati limite ultimi

Stato Limite di salvaguardia della Vita (SLV):**Stato Limite di prevenzione del Collasso (SLC):**

14. ANALISI DEI VINCOLI GRAVANTI SUI TERRENI

Per quanto riguarda gli aspetti legati alla pericolosità idrogeologica, si sintetizzano gli esiti del Piano Stralcio per l'Assetto Idrogeologico (PAI), che è stato redatto dalla Regione Sardegna ai sensi del comma 6 ter dell'art. 17 della Legge 18 maggio 1989 n. 183 e ss.mm.ii., adottato con Delibera della Giunta Regionale n. 2246 del 21 luglio 2003, approvato con Delibera n. 54/33 del 30 dicembre 2004 e reso esecutivo dal Decreto dell'Assessore dei Lavori Pubblici n. 3 del 21 febbraio 2005.

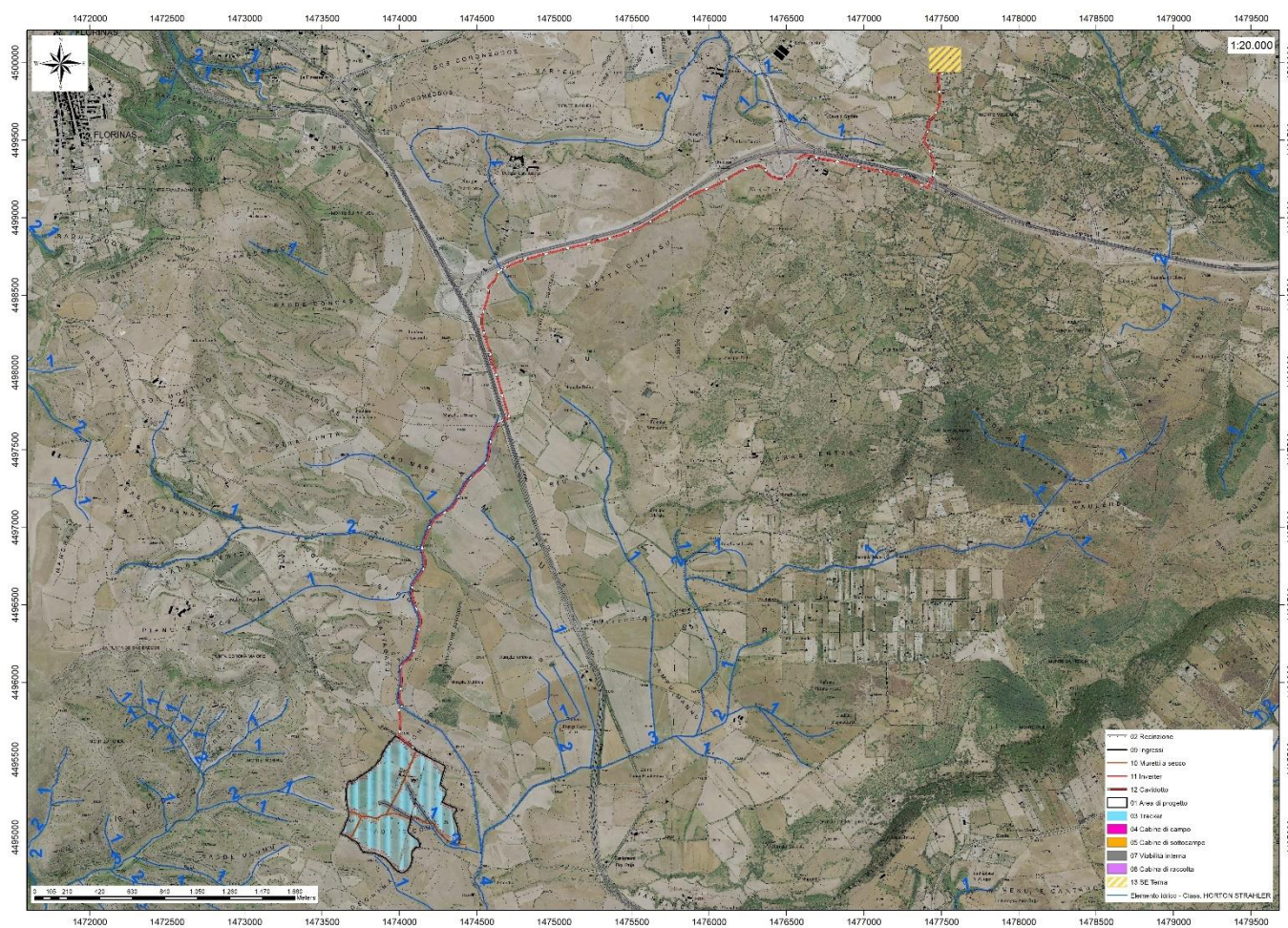


Figura 37 Inquadramento PAI, Carta della Pericolosità Idraulica Hi (fonte RAS)

Il PAI ha valore di piano territoriale di settore e, in quanto dispone con finalità di salvaguardia di persone, beni, ed attività dai pericoli e dai rischi idrogeologici, prevale sui piani e programmi di settore di livello regionale (Art. 4 comma 4 delle Norme Tecniche di Attuazione del PAI). Inoltre (art. 6 comma 2 lettera c delle NTA), "le previsioni del PAI [...] prevalgono: [...] su quelle degli altri strumenti regionali di settore con effetti sugli usi del territorio e delle risorse naturali, tra cui i [...] piani per le infrastrutture, il piano regionale di utilizzo delle aree del demanio marittimo per finalità turistico-ricreative".

L'area di impianto non è interessata da aree a pericolosità idraulica mentre è istituita una fascia di salvaguardia di 10m ex art.30ter per una lunghezza di circa 350m lungo le aste fluviali 090068_FIUME_82325 e 090068_FIUME_79176. Il cavidotto nel suo sviluppo attraversa diverse aste fluviali ma correrà interrato ad una profondità maggiore di 1m da piano campagna e pertanto non interferirà con il normale deflusso delle acque.

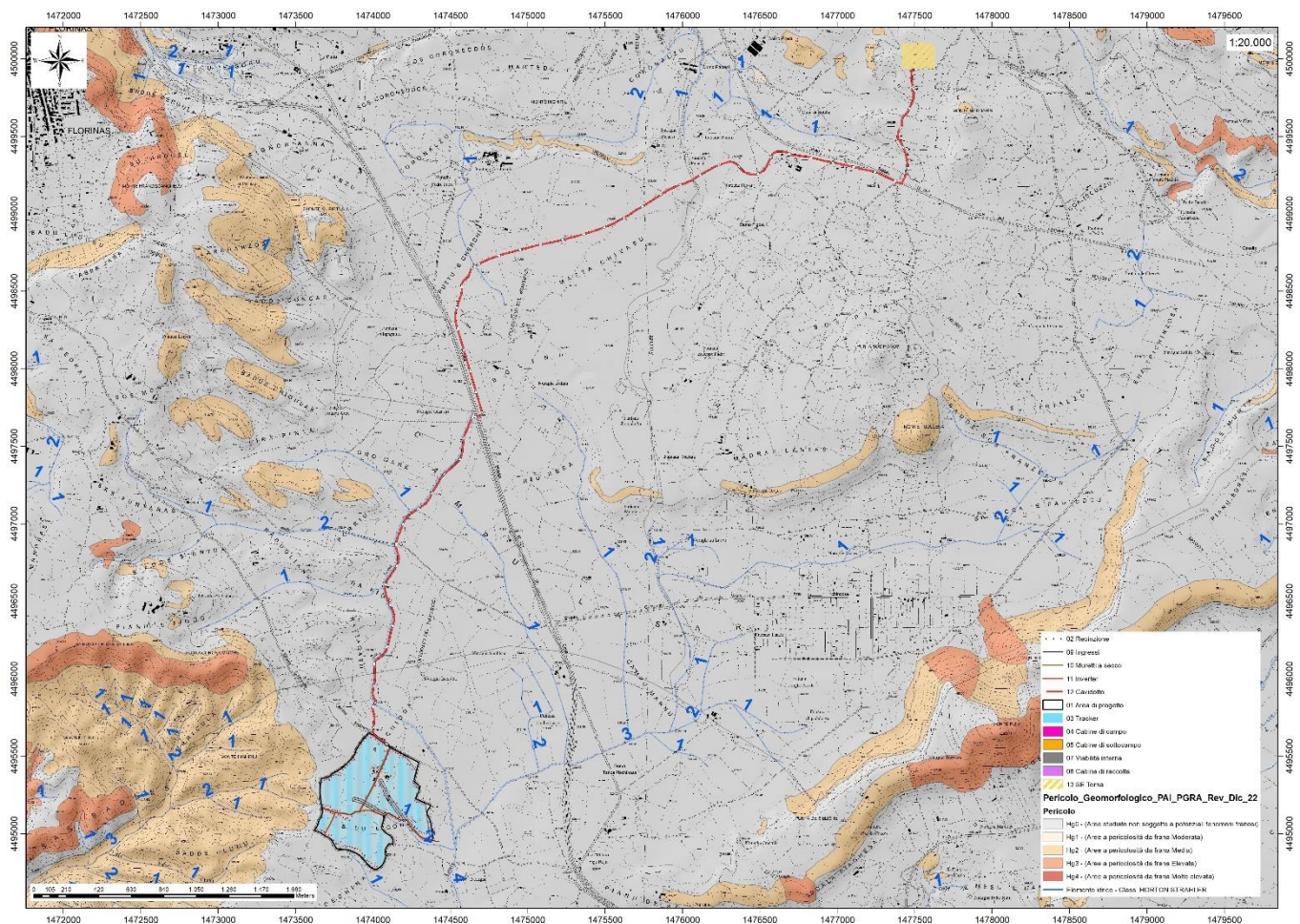


Figura 38 Inquadramento PAI, Carta della Pericolosità Geomorfologica Hg (fonte RAS)

Dai sopralluoghi effettuati in sito non si ha evidenza per quest'area di fenomeni franosi in atto o potenziali. La dinamica geomorfologica di versante è naturalmente presente ma senza manifestazioni importanti. Il cavidotto nel suo sviluppo attraversa aree a pericolosità idraulica Hi1.

L'area di progetto non è compresa in aree caratterizzate da Pericolosità Idraulica e Pericolosità Geomorfologica.

14.1. PIANO DI GESTIONE DEL RISCHIO ALLUVIONI (PGRA)

L'articolo 7 del D.Lgs. 23 febbraio 2010 n. 49 "Attuazione della Direttiva Comunitaria 2007/60/CE, relativa alla valutazione e alla gestione dei rischi di alluvioni", che recepisce in Italia la Direttiva comunitaria 2007/60/CE, prevede che in ogni distretto idrografico, di cui all'art. 64 del D.Lgs.152/2006, sia predisposto il **Piano di Gestione del Rischio di Alluvioni** (di seguito indicato come PGRA). L'obiettivo generale del PGRA è la riduzione delle conseguenze negative derivanti dalle alluvioni sulla salute umana, il territorio, i beni, l'ambiente, il patrimonio culturale e le attività economiche e sociali.

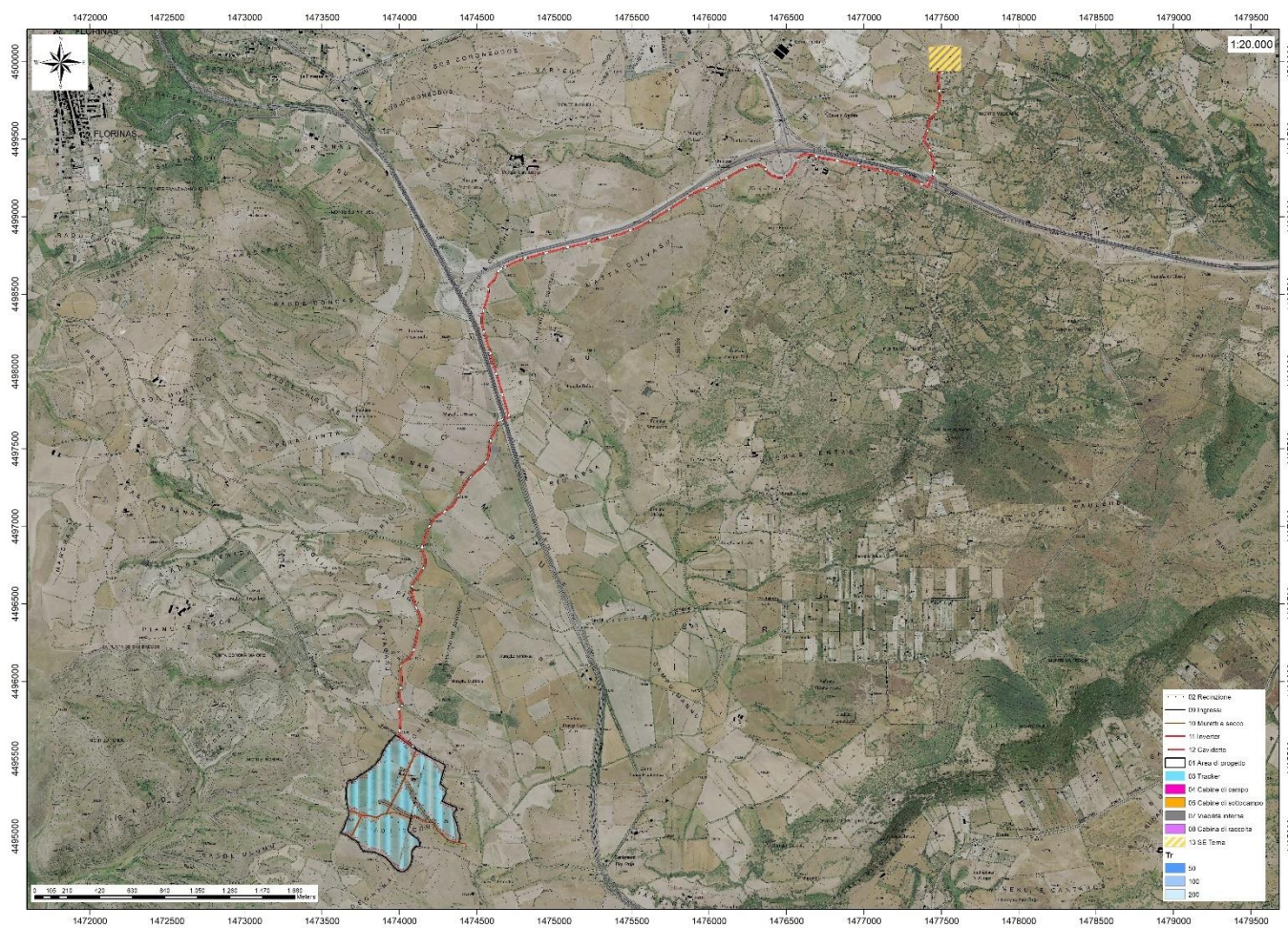


Figura 39 Inquadramento PGRA (fonte RAS)

Esso coinvolge pertanto tutti gli aspetti della gestione del rischio di alluvioni, con particolare riferimento alle misure non strutturali finalizzate alla prevenzione, protezione e preparazione rispetto al verificarsi degli eventi alluvionali; tali misure vengono predisposte in considerazione delle specifiche caratteristiche del bacino idrografico o del sottobacino interessato. Il PGRA individua strumenti operativi e di governance (quali linee guida, buone pratiche, accordi istituzionali, modalità di coinvolgimento attivo

della popolazione) finalizzati alla gestione del fenomeno alluvionale in senso ampio, al fine di ridurre quanto più possibile le conseguenze negative.

L'area di progetto non è compresa nelle perimetrazioni del PGRA

14.2. PIANO STRALCIO DELLE FASCE FLUVIALI (PSFF)

Il Piano Stralcio delle Fasce Fluviali (PSFF) definisce, per i principali corsi d'acqua della Sardegna, le aree inondabili e le misure di tutela per le fasce fluviali. A seguito dello svolgimento delle conferenze programmatiche, tenute nel mese di gennaio 2013, il Comitato Istituzionale dell'Autorità di Bacino della Regione Sardegna, con Delibera n.1 del 20.06.2013, ha adottato in via definitiva il Progetto di Piano Stralcio delle Fasce Fluviali.

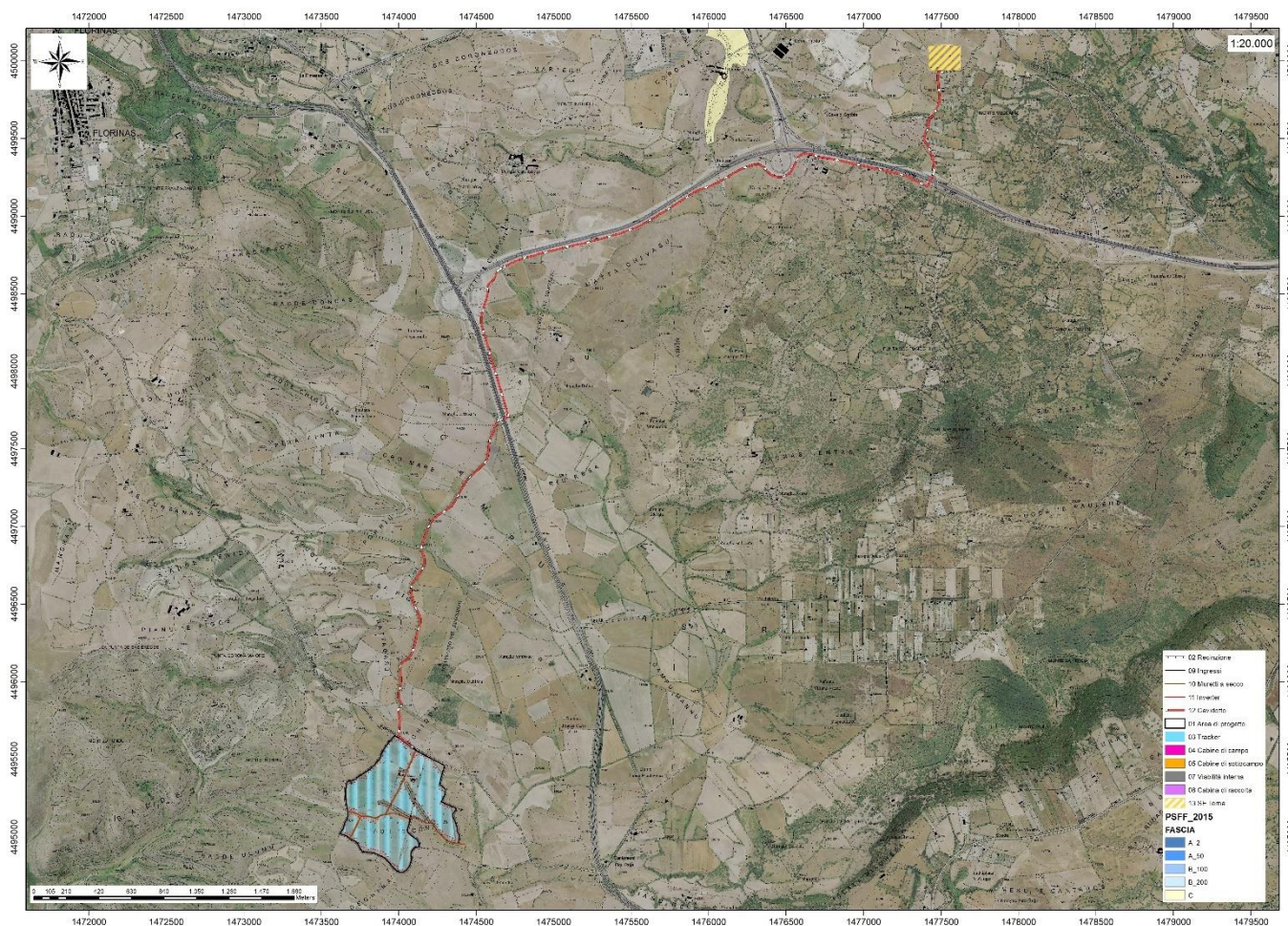


Figura 40 Inquadramento PSFF (fonte RAS)

L'area di progetto non è compresa nelle perimetrazioni del PSFF

15. MODELLO GEOLOGICO E GEOLOGICO-TECNICO

Sulla base di quanto emerso dai rilievi e da indagini eseguite in sito o, nell'approccio progettuale, stante il contesto geologico si evidenziano le seguenti criticità a cui sarà necessario prestare la opportuna attenzione nella progettazione delle opere e nelle varie fasi di realizzazione. L'analisi di tali fattori è funzionale alla progettazione e ha lo scopo di valutare la risposta del terreno ai nuovi carichi ed individuare azioni correttive o accorgimenti tali da limitarne gli effetti. Nello specifico:

- Circolazione idrica sotterranea secondaria o indotta e/o stagnazione di acque di pioggia –vanno considerati gli effetti dell'eventuale presenza d'acqua alla quota di imposta delle opere fondanti con particolare riferimento alla stagionalità degli apporti idrici e del relativo flusso negli ambiti più superficiali delle coltri di alterazione dei depositi alluvionali.
- Presenza di sacche argillose non attualmente identificabili che possono cambiare il grado di portanza dei terreni – sarà opportuno in fase di progettazione definitivo/esecutiva eseguire dei saggi sul terreno per confermarne o meno la presenza.

Dalle informazioni ricavate dal seguente studio è stato costruito il modello geologico preliminare del sito che sintetizza e descrive i caratteri litologici, strutturali, idrogeologici e geomorfologici trattati nei capitoli precedenti:

0,00m – 0,00m/ 0,50m – **Litotipo 0** Suolo/ coltri colluviali-eluviali

da 0,00m/ 0,50m in poi – **Litotipo A** FORMAZIONE DI BORUTTA: marne, marne arenacee bioturbate, calcari marnosi e silti, localmente in alternanze ritmiche, di colore da grigio-bruno a biancastro-giallastro

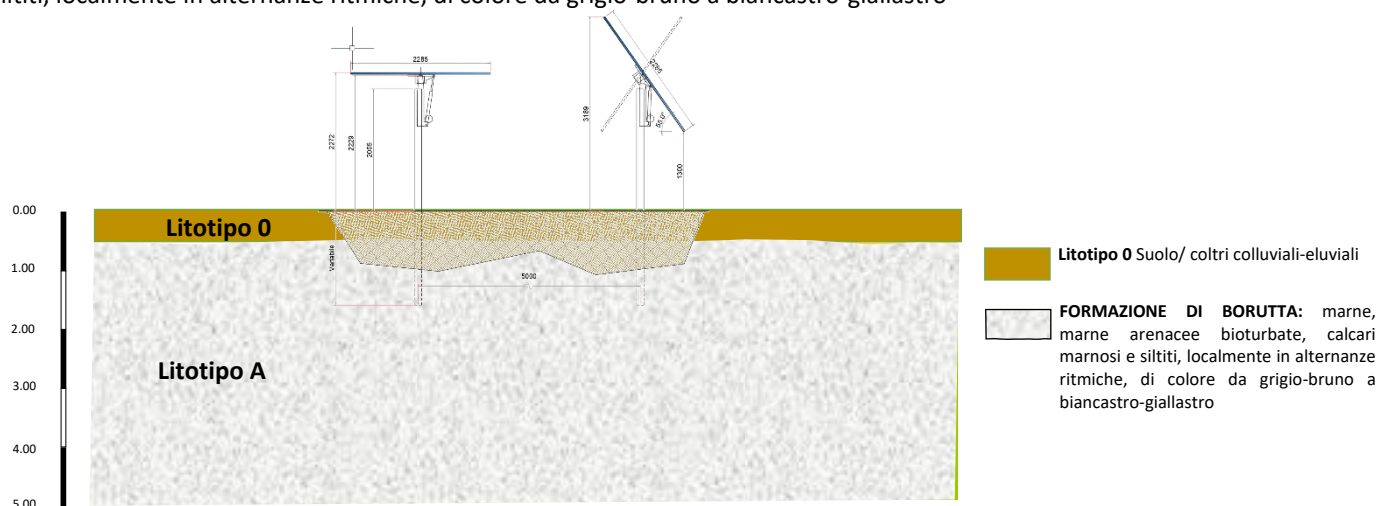


Figura 41 Modello geologico del sito (6.2.1 NTC 2018)

Di seguito il **modello geologico tecnico** stimato sulla base dei valori di velocità più bassi riscontrati. È consigliabile in fase esecutiva confermare questi valori mediante indagini dirette (penetrometrie dinamiche o analisi di laboratorio su campioni di carota derivanti da pozzetti o sondaggi)

Sismostrato	Prof/zona	CT*	Densità γ	Vp	Vs	Coefficiente di Poisson ν	Modulo di Young dinamico o Ed	Modulo di Young statico Ed	Modulo di taglio G_0	Modulo di comprimibilità o di Bulk - K
			[Kg/m ³]	[m/s]	[m/s]		[MPa]	[MPa]	[MPa]	[MPa]
1	0,0-2,3	5%	1.900	1.990	995	0,33	5.021	251	1.883	5.021
2	2,3-6,2	10%	2.000	2.270	1.135	0,33	6.875	687	2.579	6.875
3	6,2-17,6	15%	2.100	2.670	1.335	0,33	9.983	1.497	3.746	9.983
4	17,6-35,0	20%	2.200	3.230	1.615	0,33	15.299	3.060	5.737	15.299
5	>35,0	30%	2.300	5.040	2.520	0,33	38.953	11.686	14.602	38.953

16.FATTIBILITA' GEOLOGICA - GEOTECNICA

Analizzate le specifiche dell'impianto e, a seguito delle analisi geologico strutturali affrontate nei capitoli precedenti, vengono rese note una serie di indicazioni che possono essere utili al fine di una corretta installazione dell'impianto e delle sue componenti fondanti in relazione alle caratteristiche geologiche della superficie interessata dal progetto.

L'area è caratterizzata, fin dai primi metri circa, da **marne, marne arenacee bioturbate, calcari marnosi e siltiti, localmente in alternanze ritmiche, di colore da grigio-bruno a biancastro-giallastro**. Si presentano abbastanza compatte e di buona capacità portante la presenza di fratturazione può determinare locale circolazione d'acqua con annessi fenomeni erosivi e/o carsici nelle facies calcaree.

Durante l'installazione delle aste nel terreno il grado di compattezza della roccia potrebbe ostacolare l'infissione e creare resistenza tanto da dover ricorrere ad eventuali fori o trivelle per un corretto fissaggio delle aste. L'infissione dell'asta comporta un addensamento del terreno adiacente all'asta, con un incremento dello stato tensionale e delle caratteristiche meccaniche. Al contrario, l'installazione dell'asta a seguito dell'utilizzo di una trivella, la quale richiede la rimozione di un uguale volume di terreno, comporta una riduzione dello stato tensionale iniziale, il quale deve essere ripristinato attraverso compattazione superficiale.

Nei terreni incoerenti l'addensamento avviene con riduzione dei vuoti e con l'espulsione dell'acqua interstiziale e si possono ottenere massimi addensamenti sia con saturazione completa sia in condizioni di assenza di acqua.

La forma della curva mostra come effettivamente si possa ottenere il massimo addensamento anche in condizioni di umidità naturale del volume da compattare (fig. 43)

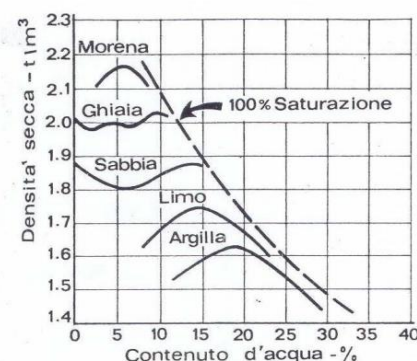


Figura 42 Curva di compattazione da prove di laboratorio in terreni incoerenti

Occorre considerare sempre e comunque che è sufficiente una percentuale del 10-15% di materiali fini per rendere il terreno incoerente assimilabile, ai terreni coesivi e, quindi a dovere compattare il volume di terreno al valore ottimo dell'umidità per ottenere il massimo addensamento, poiché, in un terreno relativamente secco la compattazione deve vincere l'adesione dovuta alle tensioni superficiali al confine tra aria e acqua dovute al fenomeno della capillarità.

Pertanto, quest'operazione di costipamento del terreno è consigliabile eseguirla con un contenuto d'acqua tale che le particelle siano lubrificate al punto giusto affinché si assestino con la compattazione ed il conseguentemente aumento della densità.

L'eccessiva quantità d'acqua porterebbe l'effetto contrario, aumenterebbe l'indice dei vuoti con riduzione della densità (fig. 44)

Per quanto concerne le caratteristiche geotecniche dei materiali interessati dalle basi fondanti, i parametri che si possono considerare cautelativi in base agli esiti delle indagini preliminari eseguiti sulla formazione interessata.

In fase di progettazione esecutiva gli stessi dovranno essere confermati con ulteriori indagini dirette.

Da **0.0m a 2,30m:**

$$\gamma_d = 1900 \text{ kg/mc}; Y_{\text{sat}} = 1900 \text{ kg/mc}; c = 0 \text{ KPa}, \phi = 30^\circ$$

Da **2.30m -6,20m:**

$$\gamma_d = 2000 \text{ kg/mc}; Y_{\text{sat}} = 2000 \text{ kg/mc}; c = 0 \text{ KPa}, \phi = 35^\circ$$

La presenza di livelli a composizione variabile e con la possibilità di infiltrazioni umide suggerisce di effettuare le verifiche in condizioni non drenate e saturate per maggiore sicurezza.

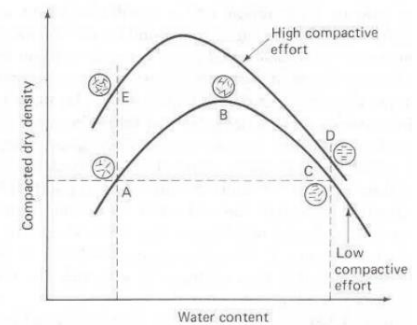


Figura 43 Curva di compattazione in terreni coerenti

17.VALUTAZIONE DEGLI IMPATTI DEL PIANO SULLE COMPONENTI AMBIENTALI SUOLO, SOTTOSUOLO E ACQUE

Lo studio delle componenti ambientali abiotiche ha permesso di definire lo stato attuale dell'area interessata dall'intervento. Le valutazioni degli impatti sulle componenti sono state definite verificando le stesse nelle varie fasi lavorative e nel complesso; pertanto, di seguito vengono analizzate le singole componenti in relazione agli steps di sviluppo dell'intervento.

MATRICE IMPATTI - fase di cantiere

GEOLOGIA

Modifica assetto idro-geomorfologico:

senza mitigazione: tutte le lavorazioni in fase di realizzazione che comprendono realizzazione di aree di stoccaggio temporaneo del materiale scavato, comportano modifiche talora temporanee all'assetto idro-geomorfologico con impatto da moderato a compatibile.

con mitigazione: le opere o le azioni di mitigazione su tali impatti consistono in un'accurata gestione del cantiere delle aree connesse, nel prevedere opere provvisorie di controllo dell'equilibrio idro-geomorfologico anche in relazione ad occupazioni temporanee di aree o la realizzazione di lavorazioni specifiche.

SUOLI

Compattazione del substrato:

senza mitigazione: in generale gli impatti su tale aspetto della componente suolo vengono riconosciuti nelle lavorazioni di realizzazione delle opere fondanti e nella realizzazione della viabilità di impianto e nella produzione di inerti intendendo a questi connesso il deposito temporaneo. L'impatto è stimato come compatibile. Per le altre lavorazioni si ritiene tale impatto non significativo.

con mitigazione: non sono previste specifiche misure di mitigazione, l'impatto rimane inalterato tuttavia sempre compatibile. Esso si riduce solo per le attività di produzione degli inerti in ragione della temporaneità dei depositi di stoccaggio.

Asportazione di suolo:

senza mitigazione: su tale aspetto della componente suolo, le attività connesse alla realizzazione del piano o di eventuali piste producono impatto da moderato a compatibile in quanto la realizzazione delle opere, comporta una effettiva asportazione di terreno.

con mitigazione: le opere di mitigazione previste e che permettono la riduzione degli impatti descritti consistono nella conservazione e riutilizzo del materiale asportato in aree prossime a quelle di prelievo e/o alte affini carenti in tale componente. L'impatto si riduce a compatibile o non significativo.

Perdita di substrato protettivo:

senza mitigazione: analogamente a quanto espresso per l'aspetto precedente, le attività connesse alla realizzazione del piano producono impatto da moderato a compatibile in quanto l'esecuzione delle opere, comporta una effettiva perdita di substrato protettivo.

con mitigazione: le opere di mitigazione previste e che permettono la riduzione degli impatti descritti consistono nella conservazione e riutilizzo del materiale asportato in aree prossime a quelle di asportazione e/o altre affini carenti in tale componente. L'impatto si riduce a compatibile a non significativo.

ACQUE

Acque sotterranee:

senza mitigazione: la presenza di deboli coltri superficiali, di spessore variabile può determinare la possibilità, sostanzialmente nei periodi piovosi, che si formino locali circolazioni sub sotterranee. Gli impatti dei lavori di realizzazione delle opere sono dovuti principalmente alle possibili locali interruzioni e/o deviazioni di tali deflussi. L'impatto è stimato come moderato o non significativo in ragione della tipologia d'opera per lavori di scavo e realizzazione delle fondazioni.

con mitigazione: In fase di realizzazione, tali impatti possono ridursi definendo una rete di cattura e smaltimento delle acque che garantisca la precedente continuità parzialmente o localmente interrotta dalla realizzazione dell'opera. L'impatto diviene non significativo.

Acque superficiali:

senza mitigazione: le opere realizzate possono localmente e in specifici periodi dell'anno (mesi piovosi) interferire sulla rete di deflusso superficiale peraltro poco sviluppata e per lo più effimera. L'impatto è stimato come compatibile nel caso di realizzazione di strade. Diviene moderato per lavori di scavo e realizzazione delle fondazioni e per la produzione di inerti a cui sono connessi depositi temporanei di materiale scavato.

con mitigazione: In fase di realizzazione tali impatti possono ridursi definendo una rete di cattura e smaltimento delle acque che garantisca la precedente continuità parzialmente o localmente interrotta dall'opera. L'impatto diviene non significativo o compatibile.

MATRICE IMPATTI – fase di esercizio

Sostanzialmente in fase di esercizio, non si individuano impatti significativi sulle componenti geologia, suolo e acque salvo che per alcuni aspetti legati alla corretta gestione delle opere di mitigazione previste in fase di realizzazione e connesse sostanzialmente alla gestione delle acque superficiali e sub sotterranee.

18.CARATTERIZZAZIONE DELLE TERRE E DELLE ROCCE DA SCAVO

Il DPR n. 120 del 13/06/2017 stabilisce la nuova disciplina sulla gestione delle terre e rocce da scavo ed è in vigore dal 22/08/2017.

Il regolamento riunisce in un unico testo le regole sul riutilizzo delle terre e rocce da scavo come sottoprodotti abrogando sia il DM 161/2012 sia l'art. 41bis del D.L. 69/2013 convertito in L. 98/2013.

Regolamenta inoltre l'utilizzo nel sito di produzione delle terre e rocce da scavo escluse dalla disciplina dei rifiuti (art. 185 c.1, lett. c) e le terre e rocce provenienti dai siti oggetto di bonifica e introduce infine un apposito regime per il deposito temporaneo delle terre e rocce da scavo qualificate come rifiuti.

L'art. 4 del DPR 120/2017 stabilisce i requisiti generali affinché le terre e rocce da scavo possano essere sottoposte al regime dei sottoprodotti. Si rimanda quindi alla normativa vigente in merito alla caratterizzazione dei materiali ed eventuale redazione di un Piano di Utilizzo delle Terre e Rocce da scavo.

Per tutti i cantieri con produzione di TRS da riutilizzare inferiori a 6.000 m³ (Capo III), compresi quelli che riguardano opere sottoposte a VIA o ad AIA, e per i siti di grandi dimensioni, superiori a 6000 m³, non sottoposti a VIA o AIA (Capo IV) è prevista una procedura semplificata, simile a quella dell'articolo 41 bis del Decreto-legge n. 69/2013, attraverso autocertificazione. Il DPR 120/2017 prevede infatti che il proponente o il produttore attesti il rispetto dei requisiti di cui all'articolo 4 (classificazione delle TRS come sottoprodotti e non rifiuti) mediante una autocertificazione (dichiarazione sostitutiva di atto di notorietà, ai sensi del DPR 445/2000) da presentare all'ARPA territorialmente competente e al Comune del luogo di produzione (all'Autorità competente nel caso di cantieri di grandi dimensioni) utilizzando i moduli previsti dagli Allegati 6-7-8 del DPR.

Il "Regolamento recante la disciplina semplificata della gestione delle terre e rocce da scavo" del 2017, in attuazione dell'articolo 184-bis del decreto legislativo 3 aprile 2006 n. 152, stabilisce i requisiti generali da soddisfare affinché le terre e rocce da scavo generate in cantieri di piccole dimensioni, in cantieri di grandi dimensioni e in cantieri di grandi dimensioni non sottoposti a VIA e AIA, siano qualificati come sottoprodotti e non come rifiuti, nonché le disposizioni comuni ad esse applicabili

18.1. PIANO DI RIUTILIZZO DELLE TERRE E ROCCE PROVENIENTI DALLO SCAVO E DA ESEGUIRE IN FASE DI PROGETTAZIONE ESECUTIVA E COMUNQUE PRIMA DELL'INIZIO DEI LAVORI

18.1.1. MATERIALE RIUTILIZZATO IN SITO

L'attuale quadro normativo include nel processo di gestione come sottoprodotti quelle terre da scavo non contaminate che vengono riutilizzate allo stato naturale, nell'ambito dei lavori di costruzione, direttamente nel luogo dove sono state generate.

Infatti, con il Regolamento recante la disciplina semplificata della gestione delle terre e rocce da scavo, ai sensi dell'articolo 8 del decreto-legge 12 settembre 2014, n. 133, convertito, con modificazioni, dalla legge 11 novembre 2014 n. 164, sono state adottate le disposizioni di riordino e di semplificazione della disciplina inerente alla gestione delle terre e rocce da scavo, con particolare riferimento:

a) alla gestione delle terre e rocce da scavo qualificate come sottoprodotti, ai sensi dell'articolo 184-bis, del decreto legislativo 3 aprile 2006, n. 152, provenienti da cantieri di piccole dimensioni, di grandi dimensioni e di grandi dimensioni non assoggettati a VIA o ad AIA, compresi quelli finalizzati alla costruzione o alla manutenzione di reti ed infrastrutture;

b) alla disciplina del deposito temporaneo delle terre e rocce da scavo qualificate rifiuti;

c) all'utilizzo nel sito di produzione delle terre e rocce da scavo escluse dalla disciplina dei rifiuti;

d) alla gestione delle terre e rocce da scavo nei siti oggetto di bonifica.

Relativamente al progetto in esame, dunque, il Regolamento si applica nelle seguenti circostanze:

- per il terreno vegetale rimosso tramite scotico dalle aree di cantiere e dalla viabilità in progetto, il quale sarà accantonato in specifiche porzioni delle stesse al fine di essere riportato a fine lavori;

- per le terre scavate nell'ambito dei lavori di posa del cavidotto di connessione che vengono accantonate a fianco della medesima opera e quindi impiegate per la copertura od il ripristino dell'area.

Le caratteristiche delle terre da impiegare per il ripristino delle aree occupate da cantieri, piste di cantiere, aree di stoccaggio ed altre aree funzionali ai lavori di costruzione, dipendono dalla destinazione d'uso finale delle stesse aree.

In generale si prevede comunque il riutilizzo di terre da scavo e proveniente dallo scotico superficiale, da adoperare per rinterri e riempimenti e copertura vegetale (spessore di suolo derivante dallo scotico).

18.2. PIANO DI RIUTILIZZO: CRITERI GENERALI

Le terre e rocce da scavo sono utilizzabili per rinterri, riempimenti, rimodellazioni, miglioramenti fondiari o viari oppure per altre forme di ripristini e miglioramenti ambientali, per rilevati, per sottofondi e, nel corso di processi di produzione industriale, in sostituzione dei materiali di cava:

- se la concentrazione di inquinanti rientra nei limiti di cui alla colonna A della Tabella 1, Allegato 5, al Titolo V, della Parte IV, del decreto legislativo 3 aprile 2006, n. 152, in qualsiasi sito a prescindere dalla sua destinazione;

- se la concentrazione di inquinanti è compresa fra i limiti di cui alle colonne A e B, in siti a destinazione produttiva (commerciale e industriale).

Pertanto, il Piano di Riutilizzo, da predisporre in **fase di progettazione esecutiva** e comunque **prima dell'inizio dei lavori sarà** redatto ai sensi dell'allegato 5 del DPR 120/2017

Dott.ssa Geol. Cosima Atzori

ORDINE DEI GEOLOGI DELLA SARDEGNA - Sezione A n°656